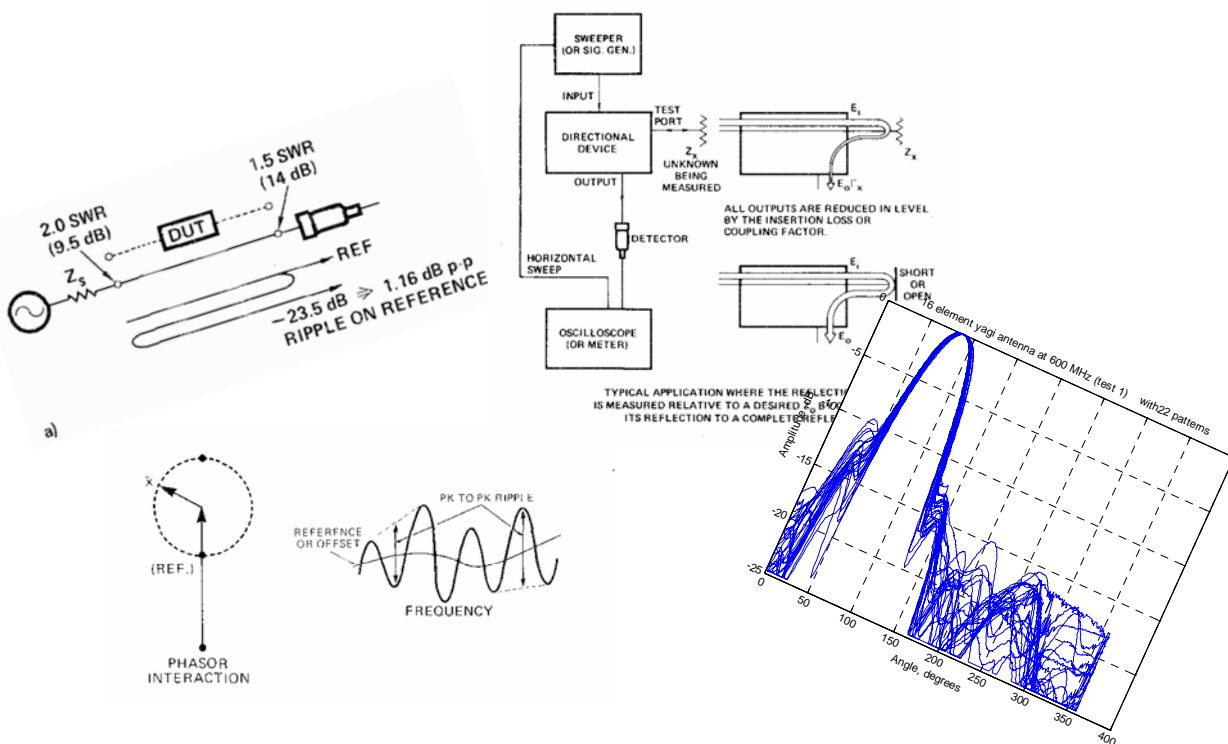


تأسیس ۱۳۰۷

دانشگاه صنعتی خواجه نصیرالدین طوسی  
دانشکده مهندسی برق و کامپیوتر

# خطاها و روش کاهش آنها

## در اندازه کسریهای مایکروویو و آتن



بهیه کننده سید محسن ابوتراب

مهرماه ۱۳۸۹

## فصل اول -اثر متقابل سیگنال اندازه گیری و خطای روی هم

1-1- جدول RF measurement chart

1-2- آشکار سازی اثر دو سیگنال روی هم

1-3- روش جدا سازی دو سیگنال از هم

الف) حالت سیگنال اندازه گیری بزرگتر از خطا

ب) حالت سیگنال خطا بزرگتر از اندازه گیری

## فصل دوم -خطای در اندازه گیری های مایکروویو و روش کاهش آن ها

2-1- خطای در اندازه گیری انعکاس

2-1-1- سیستم های اندازه گیری انعکاس

الف) دایرکشنال کوپلر ها

ب) پلهای اندازه گیری (REFLECTION Or SWR BRIDGE)

پ) محدودیتهای سیستم اندازه گیری با دو دایرکشنال کوپلر و پل اندازه گیری

ت) تحلیل گرهای شبکه

2-1-2- منابع ایجاد خطای در اندازه گیری انعکاس

الف: خطای دایرکتیویته

ب: خطای عدم تطبیق دهانه آزمایش

پ: خطای عدم تطبیق منبع

ت: خطای عدم تطبیق تبدیل کننده ها (ADAPTERS) یا اتصال دهنده ها (CONNECTORS)

ث- خطای ناشی از هارمونیکها و سیگنالهای ناخواسته منابع تولید سیگنال

3-1-2- روش جدا سازی خطای در اندازه گیری انعکاس

الف) متوسط گیری (AVERAQING) خطای

ب) بزرگ کردن سیگنال ناخواسته مبنابرای اندازه گیری افت انعکاسی خیلی کم

پ) اندازه گیری دایرکتیویته دایرکشنال کوپلر و پل اندازه گیری

ت) روش کاهش خطای هارمونیکهای موجود در سیگنال

2-2- خطای در اندازه گیری افت عبوری

2-2-1- سیستم اندازه گیری افت عبوری

2-2-2- منابع خطای در اندازه گیری افت عبوری

2-2-3- روش کاهش و جدا سازی خطای در اندازه گیری افت عبوری

## فصل سوم- خطای اندازه گیری های آنتن

۱-۳- خطای های مشترک در میدان های آزمایش آنتن

الف) -خطای فاصله

ب)- خطای جابجایی آنتن در حال نصب روی پایه

۲-۳- خطای در میدان های باز آزمایش آنتن

۳-۳- خطای در اتاق های بدون انعکاس

۴-۳- خطای در اندازه گیری روش میدان دور از نزدیک

۱): روش صفحه ای

۲): روش استوانه ای

۳): روش کروی

در اندازه گیری ها، بخصوص فرکانس بالا، شناخت منابع خطأ و چگونگی کاهش و یا رفع آن ها بسیار مهم است. عدم اطلاع از اثر خطأ ها میتواند اثرات غیر قابل گذشتی در اندازه گیری آن کمیت داشته باشد.

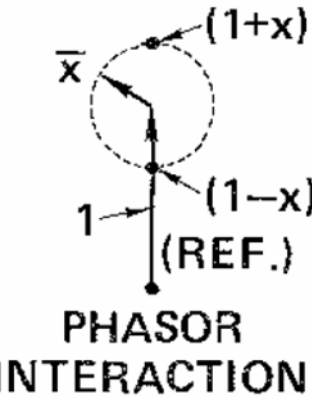
قسمت عمده جزو حاضر، متن ترجمه شده‌ی مستخرج از روشهای کاربردی منتشر شده از طرف شرکت ویلترون (WILTRON) سازنده وسائل دقیق اندازه گیری در مایکروویو است که در سال ۱۳۶۴ تهیه شده و به عنوان قسمت مکمل در درس مایکروویو تدریس میشود. در نسخه جدید علاوه بر آن، برخی از خطأ ها در اندازه گیری های آنتن نیز افزوده شده است. در این جزو خطاهای ممکن مورد بررسی و دقت قرار گرفته و اثر آنها در اندازه گیری مشخص شده است. هم چنین روشهای کاستن برخی از آنها نیز ارائه شده است.

روشهای ذکر شده برای سایز اندازه گیریها نیز قابل استفاده است و بطور کلی اکثر اندازه گیریها دارای خطاهای مشابه خطاهای ذکر شده بوده و لذا روشهای تحلیل و کاستن آنها نیز مشابه خواهد بود.

## فصل اول

### اثر متقابل سیگنال اندازه گیری و خطا روی هم

معمولا در هر اندازه گیری، یک سیگنال خطا نیز وجود داشته که با سیگنال اصلی، جمع شده و در حقیقت مجموعه این دو سیگنال، اندازه گیری میشود. اگر این دو سیگنال برداری باشند، فاز نسبی آن ها نیز در اندازه گیری موثر است. در شکل (۱-۱) این مطلب نشان داده شده است.



شکل (۱-۱)

اگر دامنه سیگنال اصلی برابر با ۱ و دامنه سیگنال خطا یا مزاحم برابر با  $x$  و فاز نسبی آن ها  $\varphi$  باشد، سیگنال کل بصورت  $1 + xe^{j\varphi}$  است. در این صورت بسته به اختلاف فاز آن ها، سیگنال مقدار دامنه اندازه گیری شده حد اکثربرابر با  $x + 1$  و حد اقل برابر  $x - 1$  خواهد بود. بنابراین اگر ما دامنه حد اکثر را داشته باشیم، میتوانیم با کم کردن  $x$  از آن، و یا اگر دامنه حداقل را داشته باشیم، با افزودن  $x$  به آن، مقدار سیگنال اصلی مورد اندازه گیری را به دست بیاوریم. البته معمولا مقدار  $x$  معلوم نیست ولی از روی حد اکثر تغییرات، میتوان دامنه مقدار سیگنال اصلی را تعیین کرد.

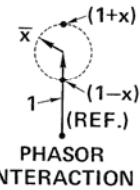
در مورد فاز نیز خطا وجود دارد. ولی فاز سیگنال اصلی و سیگنال کل، در حالت ماکریم و یا مینیمم یکی است اثر دامنه دو سیگنال که به اندازه  $xdB$  با هم اختلاف داشته باشند، در جدول RF که در زیر توضیح داده میشود آمده است و از روی این جدول میتوان نتایج بسیار جالب و مهمی گرفت.

#### ۱-۱- جدول RF measurement chart

در جدول زیر (RF MEASUREMENT CHART) اثر یک سیگنال روی سیگنال دیگر بر حسب  $dB$  مشخص شده است. سه ستون اول مقادیر ضریب سکون (SWR)، ضریب انعکاسی، و افت انعکاسی را نشان می‌دهد. چهارستون بعدی حدود تأثیر سیگنال کوچکتر را روی سیگنال بزرگتر معین می‌کند. خطای سیگنال مزاحم روی سیگنال اصلی را می‌توان با استفاده از جدول مذبور تعیین کرد. مثلاً ملاحظه میشود که سیگنالی که  $15dB$  پائینتر از سطح سیگنال اصلی است، میتواند حد اکثر سیگنال اصلی را  $1+X=1/42dB$  بزرگتر یا  $1-X=1/7dB$  کوچکتر نشان دهد که این به معنی  $3/12dB$  تغییرات نوک تا نوک ( $p-p$ ) است. از جدول مذکور می‌توان بطريق دیگری نیز استفاده کرد. مثلاً اگر تغییرات  $3/12dB$  در اندازه گیری مشاهده شود (با تغییر فاز یکی از سیگنالها)، معلوم میشود که سیگنال کوچکتر  $15dB$  از سیگنال اصلی کوچکter است و اگر ماکریم سیگنال کل را داشته باشیم، با کم کردن  $1/42dB$  از آن، به سیگنال اصلی می‌رسیم. هم چنین اگر مینیمم سیگنال کل را داشته باشیم، با اضافه کردن  $1/7dB$  به آن به سیگنال اصلی میرسیم.

TABLE 1  
RF MEASUREMENT CHART

Conversion tables for Return Loss, Reflection Coefficient, and SWR with tabular values for interactions of a small phasor  $x$  with a large phasor (unity reference) expressed in dB related to reference.



| RELATIVE TO UNITY REFERENCE |                        |                |                      |          |          |            |                |        |                        | RELATIVE TO UNITY REFERENCE |                      |          |          |            |                |                      |          |          |            |                |
|-----------------------------|------------------------|----------------|----------------------|----------|----------|------------|----------------|--------|------------------------|-----------------------------|----------------------|----------|----------|------------|----------------|----------------------|----------|----------|------------|----------------|
| SWR                         | REFLECTION COEFFICIENT | RETURN LOSS dB | 1 ± x                |          |          |            |                | SWR    | REFLECTION COEFFICIENT | RETURN LOSS dB              | 1 ± x                |          |          |            |                | x dB BELOW REFERENCE | 1 + x dB | 1 - x dB | PEAK TO dB | PEAK RIPPLE dB |
|                             |                        |                | x dB BELOW REFERENCE | 1 + x dB | 1 - x dB | PEAK TO dB | PEAK RIPPLE dB |        |                        |                             | x dB BELOW REFERENCE | 1 + x dB | 1 - x dB | PEAK TO dB | PEAK RIPPLE dB |                      |          |          |            |                |
| 17.3910                     | .8913                  | 1              | 1                    | 5.5350   | -19.2715 | 24.8065    |                | 1.0580 | .0292                  | 31                          | 31                   | .2414    | -        | .2483      | .4897          |                      |          |          |            |                |
| 8.7242                      | .7943                  | 2              | 2                    | 5.0780   | -13.7365 | 18.8145    |                | 1.0515 | .0251                  | 32                          | 32                   | .2155    | -        | .2210      | .4365          |                      |          |          |            |                |
| 5.8480                      | .7079                  | 3              | 3                    | 4.6495   | -10.6907 | 15.3402    |                | 1.0458 | .0224                  | 33                          | 33                   | .1923    | -        | .1967      | .3890          |                      |          |          |            |                |
| 4.4194                      | .6310                  | 4              | 4                    | 4.2489   | -8.6585  | 12.9073    |                | 1.0407 | .0200                  | 34                          | 34                   | .1716    | -        | .1751      | .3467          |                      |          |          |            |                |
| 3.5694                      | .5623                  | 5              | 5                    | 3.8755   | -7.1773  | 11.0528    |                | 1.0362 | .0178                  | 35                          | 35                   | .1531    | -        | .1558      | .3090          |                      |          |          |            |                |
| 3.0095                      | .5012                  | 6              | 6                    | 3.5287   | -6.0412  | 9.5699     |                | 1.0322 | .0158                  | 36                          | 36                   | .1366    | -        | .1388      | .2753          |                      |          |          |            |                |
| 2.6146                      | .4467                  | 7              | 7                    | 3.2075   | -5.1405  | 8.3480     |                | 1.0287 | .0141                  | 37                          | 37                   | .1218    | -        | .1238      | .2454          |                      |          |          |            |                |
| 2.3229                      | .3981                  | 8              | 8                    | 2.9108   | -4.4096  | 7.3204     |                | 1.0255 | .0126                  | 38                          | 38                   | .1087    | -        | .1100      | .2187          |                      |          |          |            |                |
| 2.0999                      | .3548                  | 9              | 9                    | 2.6376   | -3.8063  | 6.4439     |                | 1.0227 | .0112                  | 39                          | 39                   | .0969    | -        | .0980      | .1949          |                      |          |          |            |                |
| 1.9250                      | .3162                  | 10             | 10                   | 2.3866   | -3.3018  | 5.6884     |                | 1.0202 | .0100                  | 40                          | 40                   | .0864    | -        | .0873      | .1737          |                      |          |          |            |                |
| 1.7849                      | .2818                  | 11             | 11                   | 2.1567   | -2.8756  | 5.0322     |                | 1.0180 | .0089                  | 41                          | 41                   | .0771    | -        | .0778      | .1548          |                      |          |          |            |                |
| 1.6705                      | .2612                  | 12             | 12                   | 1.9465   | -2.5126  | 4.4590     |                | 1.0160 | .0079                  | 42                          | 42                   | .0687    | -        | .0693      | .1380          |                      |          |          |            |                |
| 1.5769                      | .2239                  | 13             | 13                   | 1.7547   | -2.2013  | 3.9561     |                | 1.0143 | .0071                  | 43                          | 43                   | .0613    | -        | .0617      | .1230          |                      |          |          |            |                |
| 1.4985                      | .1995                  | 14             | 14                   | 1.5802   | -1.9331  | 3.5133     |                | 1.0127 | .0063                  | 44                          | 44                   | .0546    | -        | .0550      | .1096          |                      |          |          |            |                |
| 1.4326                      | .1778                  | 15             | 15                   | 1.4216   | -1.7007  | 3.1224     |                | 1.0113 | .0056                  | 45                          | 45                   | .0487    | -        | .0490      | .0977          |                      |          |          |            |                |
| 1.3767                      | .1585                  | 16             | 16                   | 1.2778   | -1.4988  | 2.7766     |                | 1.0101 | .0050                  | 46                          | 46                   | .0434    | -        | .0436      | .0871          |                      |          |          |            |                |
| 1.3290                      | .1413                  | 17             | 17                   | 1.1476   | -1.3227  | 2.4703     |                | 1.0080 | .0045                  | 47                          | 47                   | .0387    | -        | .0389      | .0776          |                      |          |          |            |                |
| 1.2880                      | .1259                  | 18             | 18                   | 1.0299   | -1.1687  | 2.1986     |                | 1.0060 | .0040                  | 48                          | 48                   | .0345    | -        | .0346      | .0692          |                      |          |          |            |                |
| 1.2528                      | .1122                  | 19             | 19                   | .9237    | -1.0337  | 1.9574     |                | 1.0071 | .0035                  | 49                          | 49                   | .0308    | -        | .0309      | .0616          |                      |          |          |            |                |
| 1.2222                      | .1000                  | 20             | 20                   | .8279    | -9.151   | 1.7430     |                | 1.0063 | .0032                  | 50                          | 50                   | .0274    | -        | .0275      | .0549          |                      |          |          |            |                |
| 1.1957                      | .0891                  | 21             | 21                   | .7416    | -8.108   | 1.5524     |                | 1.0057 | .0028                  | 51                          | 51                   | .0244    | -        | .0245      | .0490          |                      |          |          |            |                |
| 1.1726                      | .0794                  | 22             | 22                   | .6639    | -7.189   | 1.3828     |                | 1.0050 | .0025                  | 52                          | 52                   | .0218    | -        | .0218      | .0436          |                      |          |          |            |                |
| 1.1524                      | .0708                  | 23             | 23                   | .5941    | -6.378   | 1.2319     |                | 1.0045 | .0022                  | 53                          | 53                   | .0194    | -        | .0195      | .0389          |                      |          |          |            |                |
| 1.1347                      | .0631                  | 24             | 24                   | .5314    | -5.661   | 1.0975     |                | 1.0040 | .0020                  | 54                          | 54                   | .0173    | -        | .0173      | .0347          |                      |          |          |            |                |
| 1.1192                      | .0562                  | 25             | 25                   | .4752    | -5.027   | .9779      |                | 1.0036 | .0018                  | 55                          | 55                   | .0154    | -        | .0155      | .0309          |                      |          |          |            |                |
| 1.1055                      | .0501                  | 26             | 26                   | .4248    | -4.466   | .8714      |                | 1.0032 | .0016                  | 56                          | 56                   | .0138    | -        | .0138      | .0275          |                      |          |          |            |                |
| 1.0935                      | .0447                  | 27             | 27                   | .3796    | -3.969   | .7765      |                | 1.0028 | .0014                  | 57                          | 57                   | .0123    | -        | .0123      | .0245          |                      |          |          |            |                |
| 1.0829                      | .0398                  | 28             | 28                   | .3381    | -3.529   | .6919      |                | 1.0025 | .0013                  | 58                          | 58                   | .0109    | -        | .0109      | .0219          |                      |          |          |            |                |
| 1.0736                      | .0355                  | 29             | 29                   | .3028    | -3.138   | .6166      |                | 1.0022 | .0011                  | 59                          | 59                   | .0097    | -        | .0098      | .0195          |                      |          |          |            |                |
| 1.0653                      | .0316                  | 30             | 30                   | .2704    | -2.791   | .5495      |                | 1.0020 | .0010                  | 60                          | 60                   | .0087    | -        | .0087      | .0174          |                      |          |          |            |                |

## ۱-۲- آشکار سازی اثر دو سیگنال روی هم

بنا بر آنچه در بالا گفته شد، در صورتی که ما به حداکثر و حداقل دو سیگنال برسیم، میتوانیم از روی  $p - p$  تغییرات این دو سیگنال، دامنه سیگنال مزاحم نسبت به اصلی را تعیین کنیم. همین طور میتوانیم با کاستن مقدار  $(1+x)dB$  از ماقزیم و یا افزودن  $(1-x)dB$  مینیمم محل دقیق سیگنال اصلی را تعیین کنیم.

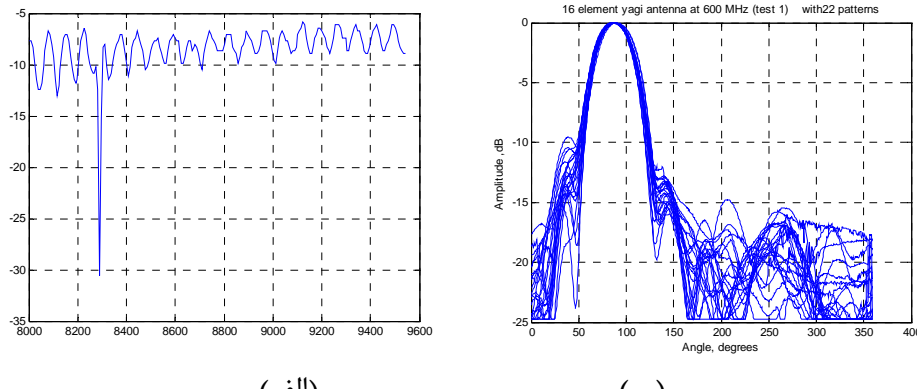
اما برای داشتن مقدار های ماقزیم و مینیمم، باید بتوانیم فاز دو سیگنال را نسبت به هم تغییر دهیم بطوری که مطمئن باشیم که ۳۶۰ درجه تغییرات فاز را داشته ایم.

معمولًا بسته به روش کار، به دو طریق میتوان این اختلاف فاز را ایجاد کرد:

روش اول با تغییر فرکانس: چون مسیر دو سیگنال اصلی و مزاحم باهم یکی نیست، بنابراین اگر سیگنال اصلی راهی به اندازه  $D$ ، و سیگنال مزاحم راهی به اندازه  $d$  را طی کنند، اختلاف فاز دو سیگنال برابر  $e^{j\beta(D-d)}$  بوده و چون  $D - d$  ثابت است، بنابراین با تغییر فرکانس،  $\beta = 2\pi f / c = 2\pi / \lambda$ ، و در نتیجه اختلاف فاز، تغییر خواهد کرد. اگر اختلاف راه دو سیگنال به اندازه کافی باشد، با تغییرات فرکانس کمی میتوان تغییرات فاز ۳۶۰ درجه مورد نیاز را به دست آورد. شکل ۲-۱۱(الف) خطای به وجود آمده روی یک سیگنال را وقتی که فرکانس جارو شده نشان میدهد.

روش دوم با تغییر مکان: اگر کار در فرکانس ثابت انجام میشود، مثلا در پرتو برداری آنتن، اختلاف فاز مورد نیاز را میتوان با تغییرات  $D - d$  یعنی جابجایی آنتن اعمال کرد. در اینجا نیز باید جابجایی به اندازه کافی باشد تا به اختلاف فاز

۳۶۰ درجه مورد نیاز دست یابیم. شکل (۲-۱-ب) خطای روی پرتو یک آنتن را وقتی آنتن در آزمایشگاه جا بجا شده نشان میدهد



شکل (۲-۱)

### ۱-۳-۱- روش جدا سازی دو سیگنال از هم

#### الف) حالت سیگنال اندازه گیری بزرگتر از خطا

اگر مطمئن باشیم که سیگنال اصلی از سیگنال خطا بزرگتر است، همانطور که گفته شد از روی ( $p - p$ ) تغییرات سیگنال کل میتوانیم بفهمیم که سیگنال خطا چقدر از سیگنال اصلی کوچک تر است و بعد هم با کم کردن  $(1-x)dB$  از ماکریم سیگنال مجموعه و یا اضافه کردن  $(1-x)dB$  به می نیمم سیگنال مجموعه، مقدار سیگنال اصلی را مشخص کنیم. در مورد فاز نیز، فاز سیگنال اصلی، در ماکریم و می نیمم، با فاز سیگنال مجموعه مساوی است(شکل ۱-۱).

#### ب) حالت سیگنال خطا بزرگتر از اندازه گیری

در صورتیکه سیگنال خطا از سیگنال اصلی بزرگتر باشد، که این را بعداً خواهیم دید، با همان روش بالا، میتوان فهمید که دامنه سیگنال اصلی از خطا چقدر کوچک تر است و با دانستن مناسب دامنه سیگنال خطا(در مقایسه با یک مبنا که بعداً توضیح داده خواهد شد) میتوانیم دامنه سیگنال اصلی را نسبت به مبنا تعیین کنیم.

در این حال برای فاز، وقتی سیگنال ماکریم است، فاز سیگنال اندازه گیری با سیگنال کل یکی بوده ولی در حالت می نیمم، فاز سیگنال اصلی  $180^\circ$  درجه با سیگنال کل اختلاف خواهد داشت(شکل ۱-۱).

## فصل دوم

### خطا در اندازه گیری های مایکروویو و روش کاهش آن ها

از اندازه گیری های اساسی در مایکروویو، میزان انعکاس از یک دهانه یک قطبی است که آن را با  $\Gamma$  نشان میدهد.

تعریف دیگر بصورت  $SWR = \frac{1+\Gamma}{1-\Gamma}$  و یا بصورت لگاریتمی یا  $RL(\text{Return Loss}) = -20\log(\Gamma)$  است. در صورتیکه مدار چند قطبی باشد، این تعریف بصورت عناصر ماتریس اسکترینگ هر دهانه یا  $S_{ii}$  است. در حقیقت  $S_{ii}$  برابر با ضریب انعکاس دهانه  $n$  است، وقتی سایر دهانه ها به بار تطبیق شده وصل باشد.

یک اندازه گیری مهم دیگر، اندازه گیری میزان عبور  $T$  (و افت عبوری) است. این مقدار همان  $S_{ij}$  یعنی ضریب عبور شاخه  $j$  از شاخه  $i$  است.

اندازه گیری هر دو مقدار، بعلت وجود منابع خطأ، دارای خطأ بوده و شناسائی چگونگی اثر این خطأ ها میتواند باعث کاهش و یا حتی رفع آن شود.

#### ۱-۲- خطأ در اندازه گیری انعکاس

با شناسائی سیستم های اندازه گیری انعکاس میتوان منابع خطأ را مشخص کرد.

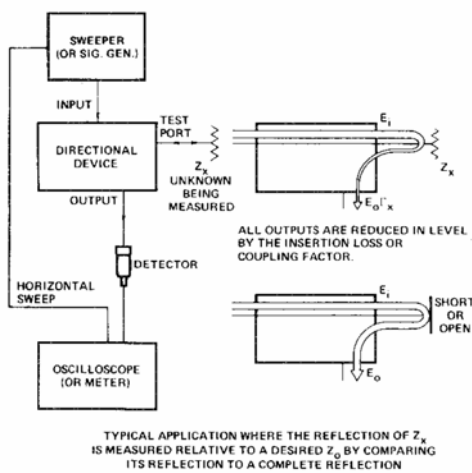
#### ۱-۱-۲- سیستم های اندازه گیری انعکاس

در اندازه گیری انعکاس و عبور (یا افت) معمولاً از دایرکشنال کوپلر و یا پلهای اندازه گیری استفاده می شود. انجام کار از دو مرحله کالیبراسیون (یا شناخت سیگنال تابش اصلی) که در آن با استفاده از یک اتصال کوتاه (و یا باز) دامنه سیگنال تابیده شده به دستگاه مورد اندازه گیری مشخص میشود، و مرحله اندازه گیری، که در آن حالت سیگنال انعکاسی از دستگاه تعیین میشود، تشکیل شده است. مقایسه این دو مقدار میزان انعکاس را مشخص میکند. در ابتدا به شناسائی روش ها می پردازیم.

##### الف) دایرکشنال کوپلر ها

اصول مدار اندازه گیری انعکاس با دایرکشنال کوپلر؛ مطابق شکل (۱-۲) است. عنصر مورد اندازه گیری (DEVICE) UNDER TEST به دایرکشنال کوپلر (و یا پل اندازه گیری) متصل شده و خروجی آن پس از آشکارشدن، توسط سکوپ و

یا نشان دهنده دیگر؛ سنجیده می‌شود در صورتیکه منظور بررسی فاز سیگنال منعکسه نیز باشد می‌توان از نت ورک آنالایزر برداری<sup>۱</sup>، استفاده کرد.



شکل (۱-۲)

در مدار شکل مذکور سیگنال منعکسه با سیگنال تابش مقایسه شده و ضریب انعکاس و یا افت انعکاسی (RETURN LOSS) تعیین می‌شود. سیگنال تابش با اتصال کوتاه کردن مدار بدست می‌آید. دایرکشنال کوپلر ها مجبوری دارای دایرکتیویته بالا بوده ولی دارای باند فرکانس محدود هستند، به طوری که برای هر باند فرکانس باید آن را تعویض کرد.

### ب) پلهای اندازه گیری (REFLECTION Or SWR BRIDGE)

پل اندازه گیری یکی از وسایل مهم در اندازه گیریهای انعکاس و عبور از لحاظ دقت، عرض باند، سادگی و اقتصادی بودن است. پلهای ساخته شده جدید دارای عرض باند تا حدود ۱۸GHz و دایرکتیویته بالای ۳۵dB هستند. اکثر پلهای براساس اصول پل و تستون و با نول کردن جریان ساخته شده‌اند. سیستم پل، یک مدار چهار عنصری است و با قراردادن بار مبنای شناخته شده‌ای مساوی با بار ناشناخته، و صفر شدن جریان، بار ناشناخته مشخص می‌شود. مدار ساده‌ی پل مطابق شکل (۲-۲-الف) بوده و با مدار پل معمولی متفاوت است.

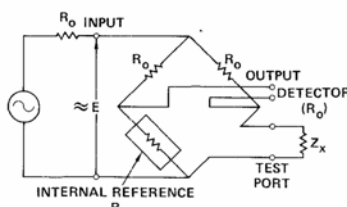


Figure 9. WILTRON Bridge Circuit

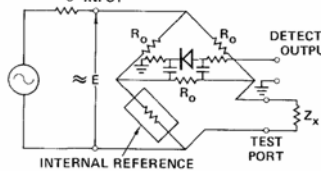
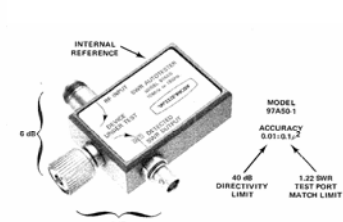


Figure 10. WILTRON Autotester Circuit



(الف)

(ب)

(پ)

شکل (۲-۲)

این پل از یک مدار ۴ عنصری تشکیل شده و امپدانس نامشخص  $Z_X$  با یک امپدانس دقیق داخلی  $R_0$  بعنوان مبنای مقایسه می‌شود و یک سیگنال انعکاسی در خروجی پل ظاهر می‌شود. این سیگنال به کمک یک مدار تبدیل بالا نس به غیر

<sup>1</sup> - VECTOR ETWORK ANAL

بالانس (کواکسیال) به خروجی متصل می‌شود. عامل اصلی محدودیت فرکانس پل، همین مدار است. خصوصیت مشخص پل آنست که در شاخه خروجی می‌توان ولتاژ

$$E_{det} = \frac{E}{4} \left( \frac{Zx - Ro}{Zx + Ro} \right)$$

را داشت که دقیقاً متناسب با ضریب انعکاس بار مورد اندازه‌گیری است. برای مقادیر  $Zx$  بین صفر و بینهایت ولتاژ خروجی بین  $\frac{E}{4}$  و  $+\frac{E}{4}$  تغییر کرده یعنی تغییر فاز لازم و مورد انتظار برای اتصال کوتاه و اتصال باز را نشان می‌دهد. دامنه‌های مساوی، بیانگر تطبیق بودن مدار برای امپدانس  $Ro$  (امپدانس خط ارتباط) است، بطوریکه یک اتصال باز یا کوتاه همان خروجی را بوجود می‌آورد. این ولتاژی است که منبع سیگنال در صورت متصل شدن به یک بار با امپدانس  $Ro$  بوجود می‌آورد. بنابراین افت عبوری برابر با  $12 \text{ dB}$ ، یعنی  $6 \text{ dB}$  از منبع به محل دهانه آزمایش و  $6 \text{ dB}$  از محل دهانه آزمایش به دهانه متصل شونده به دتکتور است. در فرکانس‌های بالا این مقدار عملاً کمی بیشتر از  $6 \text{ dB}$  است. مدار شکل (۳-۱) نشان می‌دهد که وقتی شاخه‌ی  $Zx$  به  $Ro$  متصل شود. سیگنال ورودی به دو شاخه مساوی با امپدانس  $2Ro$  تقسیم می‌شود و لذا امپدانس متصل شده به ژنراتور همان  $Ro$  است در اینصورت افت روی شاخه‌ی آزمایش و شاخه‌ی مبنای برابر بوده و خروجی کریستال صفر است.

ورودی و خروجی ایزوله هستند بطوریکه خصوصیت دایرکتیو بودن آن را بوجود می‌آورد. همین طور می‌توان ملاحظه کرد که امپدانس ورودی از هر شاخه، با تطبیق شاخه‌های دیگر، همان  $Ro$  است.

افت عبوری پل، معادل ضریب کوپلینگ دایرکشنال کوپلرها است. در این مثال افت  $12 \text{ dB}$  مانند کوپلینگ  $10 \text{ dB}$  یا  $20 \text{ dB}$  برای کوپلرها است. بنظر میرسد که یک کوپلر  $10 \text{ dB}$  دارای  $2 \text{ dB}$  حساسیت بیشتر نسبت به پل است، ولی می‌توان نشان داد که افت پل سودمند است. در پلهای بار مبنای با امپدانس  $Ro$  بسیار دقیق است، بنابراین خطای کمتری ایجاد می‌شود. اوتوسترهای (AUTO TESTER) پلهایی با ساختمان کریستال دتکتور داخلی هستند و بهمین دلیل احتیاج به مدار بالون (BALUN) نداشته و می‌توانند بین  $1 \text{ Hz}$  تا  $18 \text{ GHz}$  را با یک دستگاه بپوشانند. شکل (۲-۲-ب) این مدار را نشان می‌دهد.

دایرکتیویته حدود  $40 \text{ dB}$  تا  $46 \text{ dB}$  و ضریب سکون شاخه آزمایش حدود  $1/22$  است. شکل (۳-۲) مزیت این مدار نسبت به مدارات مشابه نشان می‌دهد.

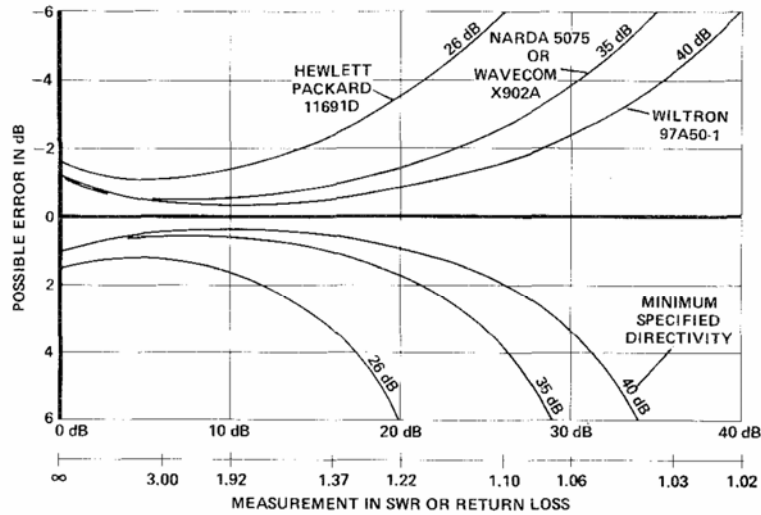
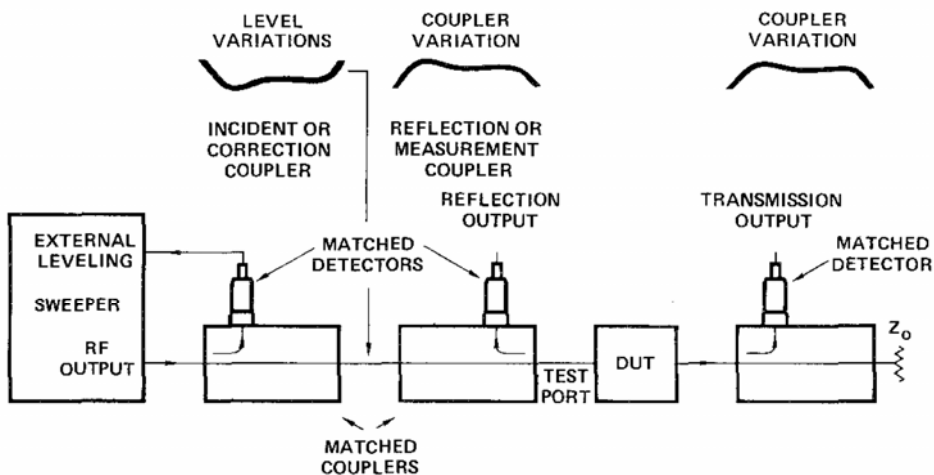


Figure 12. Comparative Error Limits of Devices for X-Band Reflection Measurements.

شکل (۳-۲)

پ) محدودیتهای سیستم اندازه‌گیری با دو دایرکشنال کوپلر و پل اندازه‌گیری برای تصحیح اثرات کوپلرها باید از یک کوپلر دیگر بعنوان تصحیح کننده مطابق شکل (۴-۲) استفاده کرد.



شکل (۴-۲)

این کوپلر نمونه‌ای از سیگنال خروجی را گرفته، جهت تصحیح سطح خروجی، به قسمت (ALC) سویپ ژنراتور وصل می‌کند. این روش باعث تنظیم شدن سطح سیگنال با توجه به مشخصات کوپلر نسبت به فرکانس می‌شود. حساسیت فرکانسی کوپلر و دتکتور مجموعاً روی ورودی کوپلر اندازه‌گیری اثر می‌گذارد. اگر کوپلرهای مشابه بکار رود اثر مطلوبی روی کاهش حساسیت خواهد داشت. برای حذف اثر دتکتورها نیز باید از زوجهای تطبیق شده با یکدیگر استفاده شود. باید توجه داشت که در اینصورت چنانچه یکی از دتکتورها معیوب شود باید دتکتور دیگر نیز مجدداً با دتکتور جدید تطبیق شود.

پیچیده‌ترشدن و در نتیجه گران‌تر شدن سیستم می‌تواند عدم تطبیق موثر منبع را کاهش دهد. افت انعکاسی خروجی کوپلر تصحیح کننده، وقتی ALC سویپ ژنراتور از طریق خارجی انجام می‌شود، با دایرکتیویته آن کوپلر با تبدیل کننده

خارجی معین می شود. برای نتیجه بهتر از این نوع تصحیح باید از سیستم دو دایرکشنال کوپلری جهت حذف اتصال دهندها استفاده کرد. در اینحالت افت انعکاسی موثر منبع فقط با دایرکتیویته کوپلر تصحیح کننده ، محدود می شود. یک تغییرات  $\pm 1/2$ dB تا  $2/4$ dB برای سیستم دو کوپلری معمولی است. حذف تغییرات خروجی نسبت به فرکانس بكمک تنظیم سطح، در اندازه گیری انعکاس اثر بسیار مطلوبی دارد لیکن برای اندازه گیری افت عبوری تغییرات زیادی را ایجاد می کند. برای رفع این اشکال احتیاج به یک کوپلر دیگر جهت ترمیم شکل خروجی است. البته اضافه کردن این کوپلر بخاطر اینکه سیگنال عبوری اندازه گیری شده به اندازه هی کوپلینگ کوپلر تضعیف می شود، حدود دینامیک اندازه گیری را کاهش می دهد. استفاده از پلهای اندازه گیری مطابق شکل ۲-۵) مدارها را بسیار ساده تر می کند.

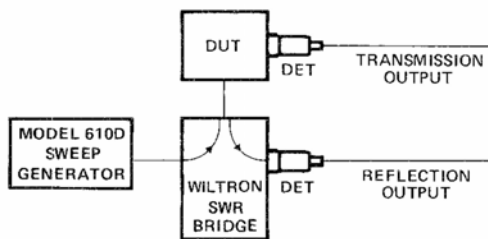


Figure 15. Simultaneous Measurement of Transmission and Reflection

شکل (۵-۲)

### ت) تحلیل گرهای شبکه

با استفاده از تحلیل گرهای شبکه (*Network analyzer*) میتوان مستقیماً دامنه و فاز سیگنال انعکاس و یا سیگنال عبور را تعیین کرد. این دستگاهها در حقیقت سیگنال مورد آزمایش (انعکاس و یا عبور) و همچنین سیگنال های کالیبراسیون (اتصال کوتاه در انعکاس و سیگنال عبور بدون دستگاه مورد آزمایش در حالت عبور) را با سیگنالی که از سیگنال ژنراتور دریافت می کنند، مقایسه کرده و نسبت دو سیگنال اندازه گیری و کالیبراسیون را، از نظر دامنه و فاز تعیین می کنند. در این دستگاه ها سیستم رفلکتمتری، عبور، و نشان دهنده، همگی در یک مجموعه قرار گرفته اند.

### ۲-۱-۲- منابع ایجاد خطأ در اندازه گیری انعکاس

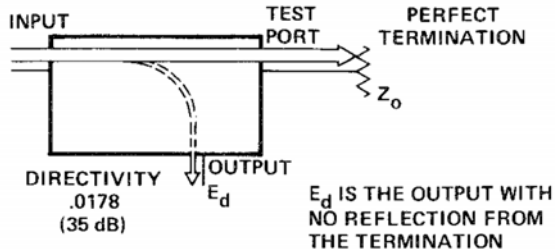
اندازه گیریها قلب طراحی تحلیلی و تولید کنترل شده هستند. استفاده از پلهای انعکاسی (REFLECTION BRIDGE) باعث کم شدن میزان خطأ نسبت به روش استفاده از دایرکشنال کوپلر دوبل است. این بخاطر دایرکتیویته بالاتر پلهای و در نتیجه کم کردن خطای سیستم است. پیشرفت های اخیر به تولید پلهای کواکسیال با قابلیت استفاده در باند وسیع تا 18GHz منتهی شده است.

برای اندازه گیری سیگنال انعکاسی باید از یک وسیله‌ی جهت‌دار، برای جدا کردن سیگنال انعکاسی (REFLECTED) از سیگنال تابش (INCIDENT) یا سیگنال مورد آزمایش (TEST)، استفاده کرد. دقیق اندازه گیری انعکاس به وسیله‌ی جهت‌دار<sup>۱</sup> که مورد استفاده واقع می شود و همچنین سیستم اندازه گیری بستگی دارد. ابتدا خطای ایجاد شده توسط وسیله‌ی جهت‌دار و سیستم مورد استفاده بررسی و سپس روش‌های تقلیل خطأ ذکر می شود.

<sup>۱</sup> - DIRECTIONAL DEVICE

## الف: خطای دایرکتیویته

دو خصوصیت وسیله‌ی جهتدار، از هر نوع که باشد در میزان دقت اندازه‌گیری دخالت دارد. اولین خصوصیت دایرکتیویته است. در شکل (۶-۲) دایرکشنال کوپلر به باری با امپدانس ایده‌آل  $Z_0$  متصل شده است. بنابراین همه‌ی انرژی از شاخه‌ی مورد آزمایش جذب شده و لذا سیگنال بطرف خروجی سنجش باز نمی‌شود.



شکل (۶-۲)

در اینحالت بهر حال یک خروجی وجود دارد که این مقدار دایرکتیویته است و با  $E_d$  نمایش داده می‌شود. این سیگنال بعلت ایده‌آل نبودن وسیله‌ی جهتدار، از نظر توجیهی، که می‌تواند بعلت اشکال هندسی، عدم تطبیق اتصالات دهانه‌ها و یا عدم جذب کلیه انعکاسات داخلی باشد، بوجود می‌آید. در شکل (۷-۲) میزان و وضعیت سیگنال برای یک دایرکشنال کوپلر با دایرکتیویته ۳۵dB، نشان داده شده است.

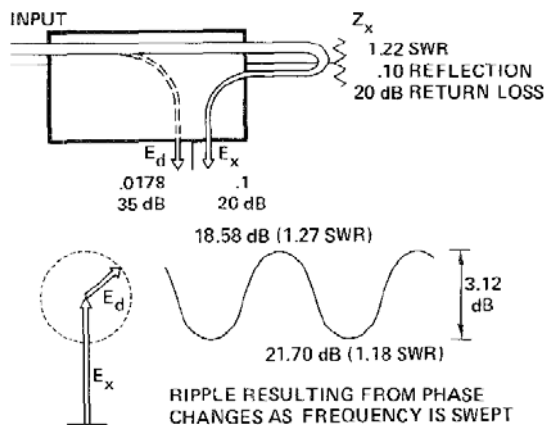
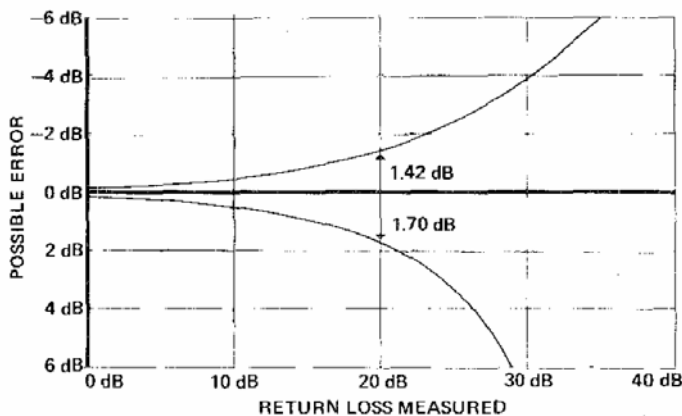


Figure 3. Possible Error of a 1.22 SWR Caused by Directivity

شکل (۷-۲)

در این شکل اثر دایرکتیویته روی اندازه‌گیری مشخص شده است. در اینجا فرض برآنست که وسیله مورد اندازه‌گیری دارای افت انعکاس معادل ۲۰dB است. این انعکاس که ۲۰dB سطح کمتر از انعکاس کامل، فقط ۱۵dB بیشتر از سیگنال ناشی از دایرکتیویته  $E_d$  است. یعنی یک انعکاس ۲۰dB می‌تواند بین ۱۸/۵۸dB تا ۲۱/۷dB اندازه‌گیری شود. در شکل (۸-۲) میزان خطای دایرکشنال کوپلر با یک وسیله دارای ۳۵dB دایرکتیویته، نشان داده شده است و مشخص است که این خطای دایرکشنال کوپلر با افت انعکاسی بالا (انعکاس خیلی کم)، بشدت زیاد است.



شکل (۸-۲)

قابل توجه است که خطای در مورد وسیله‌ای که افت انعکاسی آن برابر با دایرکتیویته وسیله جهت‌دار باشد، بین  $6$  dB تا  $\infty$  dB است.

### ب: خطای عدم تطبیق دهانه آزمایش

دومین خطای اندازه‌گیری در وسیله جهت‌دار مربوط به میزان تطبیق در دهانه متصل شونده به مدار مورد آزمایش که از این به بعد دهانه آزمایش نامیده می‌شود، است. در مورد کوپلرها این خصوصیت بعنوان ضریب سکون شاخه اصلی<sup>۱</sup> نامیده می‌شود. در شکل (۹-۲) اثر عدم تطبیق دهانه آزمایش نشان داده شده است.

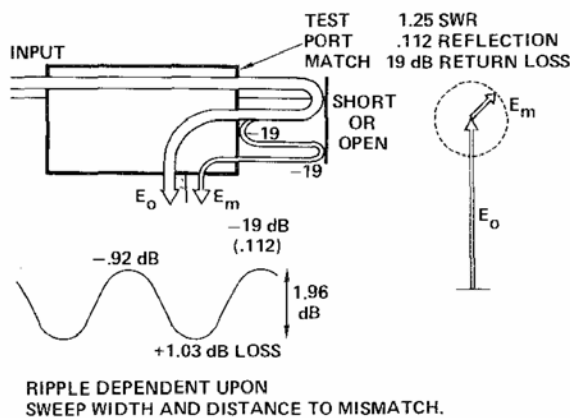


Figure 5. Possible Error Due to Full Reflection

شکل (۹-۲)

انعکاس کامل، تمامی سیگنال تابش را برگردانده و یک خروجی مبنا ایجاد می‌کند. مقداری از این موج بعلت عدم تطبیق شاخه آزمایش، مجدداً بطرف بار مورد آزمایش منعکس شده و دوباره به دهانه آزمایش باز می‌شود. این سیگنال دوباره منعکس شده، می‌تواند با سیگنال منعکس شده اصلی جمع برداری شده و ایجاد خطای کند. مثلاً برای عدم تطبیقی برابر ضریب سکون  $-19$  dB در شاخه آزمایش،  $11/2$ ٪ از سیگنال منعکس شده اصلی مجدداً بطرف بار بر می‌شود که این سیگنال  $19$  dB پائین تر از سیگنال منعکس شده اصلی است. این سیگنال پس از برخورد مجدد به اتصال کوتاه دوباره منعکس شده و بطرف دهانه آزمایش می‌رود. با توجه به جدول RF، دیده می‌شود که این سیگنال می‌توان بین  $-0.93$  dB تا

<sup>1</sup> - MAIN OR PRINCIPAL ARM SWR

۱/۰۳ dB روی دامنه سیگنال منعکس اصلی تأثیر بگذارد. باید توجه داشت که از انعکاسات درجه دوم و بالاتر بعلت اینکه در هر بار ۱۹dB تضعیف می‌شود، صرفنظر شده است.

اگر اندازه‌گیری با جاروی فرکانسی انجام شود، این تغییرات روی منحنی رسم شده کاملاً مشخص است. تواتر این نوسانات بستگی به پهنهای فرکانس جارو شده و فاصله اتصال کوتاه از دهانه آزمایش دارد. خطای مذکور هر چه وسیله اندازه-گیری شده دارای تطبیق بهتری باشد، یعنی افت انعکاسی (R.L) (R.L) بیشتری داشته باشد، کمتر می‌شود. این موضوع را می‌توان از روی شکل (۱۰-۲) دریافت.

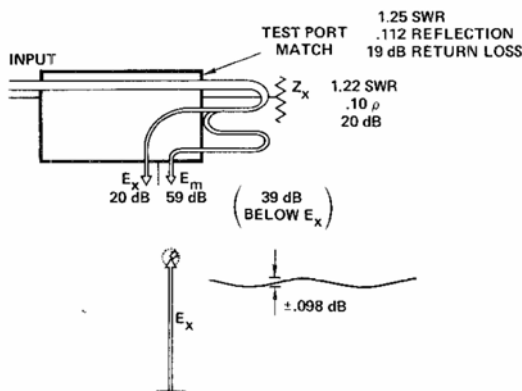


Figure 6. Possible Error of a 1.22 SWR Caused by Test Port Match

شکل (۱۰-۲)

در اینجا فرض شده که (افت انعکاسی برابر با ۲۰dB است. در اینصورت سیگنال دوباره منعکس شده از دهانه آزمایش (که فرض شده دارای افت انعکاسی ۱۹dB است) ۱۹dB پائینتر از سیگنال منعکس شده اصلی توسط وسیله‌ی مورد آزمایش است. این سیگنال پس از رسیدن به بار مورد آزمایش، با ۲۰dB تضعیف مجدداً به دهانه‌ی آزمایش باز می‌شود که در اینحالت مجموعاً  $19+20=39$ dB نسبت به سیگنال منعکس شده اصلی از وسیله‌ی مورد آزمایش ضعیفتر است. جمع برداری این دو سیگنال با ۳۹dB اختلاف با توجه به جدول اندازه‌گیری RF، می‌تواند تغییراتی برابر با  $\pm 0.98$ dB ایجاد کند. شکل (۱۱-۲) خطای حاصله را برای مقادیر مختلف عدم تطبیق دهانه‌ی آزمایش نشان می‌دهد.

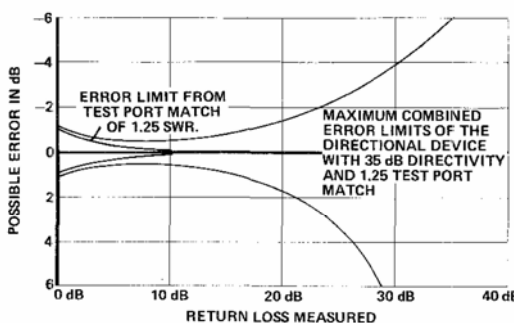


Figure 7. Error Limits of a Directional Device When Measuring a Reflection

شکل (۱۱-۲)

ملحوظه می‌شود که این خطای بر خلاف انتظار اثری بر عکس خطای قبلی دارد. قابل توجه است که در مثال بالا یک ضریب سکون ۱/۲۲ با کوپلری با ضریب سکون ۱/۲۵ اندازه‌گیری شده است. خطای عدم تطبیق شاخه‌ی آزمایش در انعکاس کامل بیشتر شده و با کم شدن انعکاس، خطای اندازه‌گیری هم کم می‌شود. باین ترتیب دیده می‌شود که این خطای بیشتر روی

حالت کالیبراسیون، که با انعکاس کامل حاصل می‌شود، تأثیر میگذارد. در قسمتهای بعدی راه ترمیم این خطا مورد بررسی قرار می‌گیرد.

در شکل (۱۱-۲) مجموعه‌ی خطا باریک دایرکشنال کوپلر با کوپلینگ  $35\text{dB}$  و عدم تطبیق شاخه‌ی آزمایش با افت انعکاسی برابر با  $19\text{dB}$  نشان داده شده است. شکل (۱۲-۲) این منحنی را برای مقادیر مختلف دایرکتیویته از  $20$  تا  $50\text{dB}$  و عدم تطبیق دهانه آزمایش با افت انعکاسی  $9\text{dB}$  نشان می‌دهد. برای جمع دو خطا باید پس از تبدیل خطاهای به دامنه، با هم جمع شده و نتیجه به  $\text{dB}$  تبدیل شود.

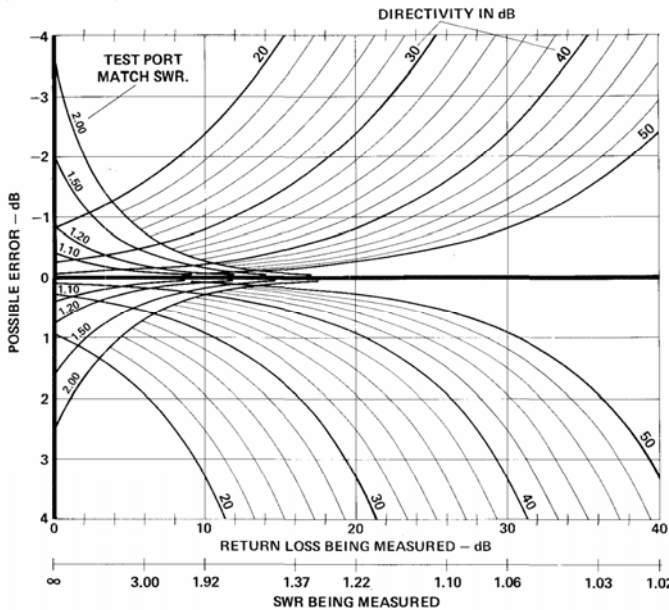


Figure 8. General Error Limit Curves for a Directional Device

شکل (۱۲-۲)

وقتی وسیله‌ی جهت‌دار به سیستمهای دیگری جهت تکمیل مدار اندازه‌گیری متصل می‌شود، منابع خطای جدیدی باید مورد توجه قرار گیرند. در خطای مهم قابل ذکر هستند. اولین خطا کاربرد دتکتور است که در سیگنالهای ضعیف دارای منحنی درجه دوم بوده و برای قدرتهای بالاتر منحنی آن خطی است. خطای دیگر موضوع تطبیق منبع است. مسأله دتکتور را می‌توان با استفاده از لول مترهای لگاریتمی که دارای مدار تصحیح جواب دتکتور است، حل کرد.

#### پ: خطای عدم تطبیق منبع

خطای دیگر از عدم تطبیق منبع با مدار حاصل می‌شود. در شکل (۱۳-۲) این موضوع برای یک دایرکشنال کوپلر نشان داده شده است. افت کوپلر خیلی کم در نظر گرفته می‌شود. (برای  $20\text{dB}$  کوپلینگ این مقدار برابر با  $4.5\%$  است). وقتی برای بدست آوردن سیگنال مبنا انتهای کوپلر را اتصال کوتاه کنیم، این سیگنال منعکسه به طرف منبع رفته و پس از انعکاس از آن (بعثت عدم تطبیق آن با کوپلر)، دوباره بدون تضعیف برگشته و پس از انعکاس مجدد از اتصال کوتاه، با سیگنال مبنا جمع برداری خواهد شد. در اینجا نیز از انعکاسات مرتبه دوم و بالاتر صرفنظر شده است. در شکل مزبور مقادیر برای منبعی با افت انعکاسی  $9\text{dB}$  تعیین شده‌اند. در مورد دایرکشنال کوپلر سیگنال منعکس شده از منبع فقط  $9/5\text{dB}$  (SWR=2) پائینتر از سیگنال اصلی است. به این ترتیب دیده می‌شود که این سیگنال می‌تواند تغییرات حدود ( $6\text{dB}$ ) علاوه بر خطاهای قبلی در اندازه‌گیری ایجاد کند.

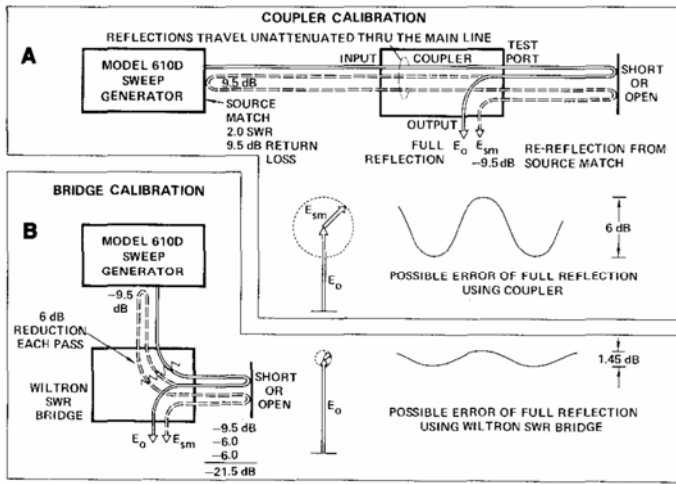


Figure 13. Effect of Source Match on Calibration for Reflection Measurements

شکل (۱۳-۲)

اگر بجای کوپلر از پلهای اندازه‌گیری انعکاسی استفاده شود، بعلت اینکه سیگنال رسیده از شاخه‌ی تابش به شاخه‌ی آزمایش و بالعکس،  $6\text{ dB}$  تضعیف می‌شود، تفاوت سیگنال منعکسه اصلی و سیگنال دوباره منعکس شده از منع  $12\text{ dB}$  بیشتر خواهد شد یعنی این اختلاف به  $B = 21/5 + 9/5 = 12 + 9/5 = 14.5\text{ dB}$  میرسد. یعنی در این حالت حدود تغییرات به  $1/45\text{ dB}$  تبدیل می‌شود که  $\frac{1}{4}$  تغییرات با حالت دایرکشنال کوپلر است.

با اضافه کردن تضعیف کننده  $6\text{ dB}$  می‌توان این خطا را بهبود بخشد ولی با خاطر عدم تطبیق تبدیل کننده یا اتصال دهنده و در نتیجه ایجاد خطای جدید، بهر حال استفاده از پلهای بهتر است.

در عمل باید توجه داشت که کوپلینگ  $6\text{ dB}$  افزوده می‌شود یعنی برای یک کوپلر  $10\text{ dB}$  این مقدار به  $16\text{ dB}$  میرسد که در مقایسه با پل که دارای کوپلینگ  $12\text{ dB}$  است، سیستمی دارای  $4\text{ dB}$  حساسیت کمتر است. بکار بردن ایزولاتور بجای تضعیف کننده نیز ممکن است، لیکن سیستم دارای قیمت بیشتری شده و ضمناً محدودیت فرکانسی پیش خواهد آمد.

### ت: خطای عدم تطبیق تبدیل کننده‌ها (ADAPTERS) یا اتصال دهنده‌ها (CONNECTORS)

کاربرد تبدیل کننده‌ها برای تطبیق دهانه آزمایش به دهانه‌ی وسیله مورد اندازه‌گیری باعث ایجاد خطا از دو طریق یکی کاهش دایرکتیوریته سیستم بعلت انعکاس از تبدیل کننده و دیگری عدم تطبیق شاخه آزمایش، می‌شود. در شکل (۲-۱۴) یک تبدیل کننده با  $RL = \text{dB}^{32}$  به یک دایرکشنال کوپلر (یا پل اندازه‌گیری) با دایرکتیویته  $36\text{ dB}$  و تطبیق شاخه آزمایش با  $SWR = 1/25$  متصل شده است. مطابق جدول RF دایرکتیویته کوپلر برابر با ضریب انعکاسی معادل  $0/0.16$  و انعکاسی از تبدیل کننده برابر با  $0/0.25$  است. این دو انعکاس در حالت همفاز بودن برابر با  $0/0.41$  است که معادل دایرکتیویته ای برابر  $27/74\text{ dB}$  است. ضریب سکون  $1/25$  برای شاخه آزمایش معادل انعکاسی برابر با  $0/0.112$  است. که در حالیکه با انعکاس تبدیل کننده بطور همفاز جمع شود برابر با  $0/0.137$  است. در اینصورت عدم تطبیق موثر دهانه آزمایش دارای ضریب سکونی برابر با  $1/32$  خواهد بود که معادل افت انعکاسی  $17\text{ dB}$  است.

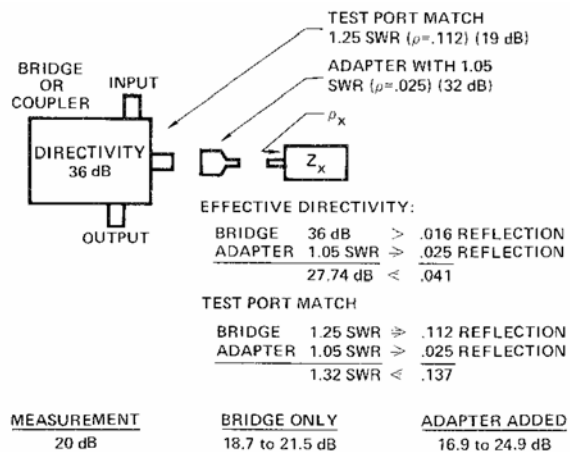


Figure 16. Adaptor Error Effects on Reflection Measurement

شکل (۱۴-۲)

در زیر جدول خطا برای یک افت انعکاسی  $20 \text{ dB}$  در حالتی که با یک تبدیل کننده با  $R_L = 32 \text{ dB}$  به یک دایرکشنال کوپلر با دایرکتیویته  $36 \text{ dB}$  متصل شود، مشخص شده است.

| Measurement | Error Limits                                 |  |
|-------------|--|--|
|             | Bridge Only                                  | Adapter Added                                |
| 20 dB       | +1.3 to -1.5 dB<br>$\Delta = 2.8 \text{ dB}$ | +3.1 to -4.9 dB<br>$\Delta = 8.0 \text{ dB}$ |

دیده می شود که خطای  $2/8 \text{dB}$  با اضافه کردن یک تبدیل کننده با ضریب سکون  $1/0.5$ ، تبدیل به خطای  $8 \text{dB}$  می شود. در شکل (۲-۱۵) خطای ناشی از اضافه کردن تبدیل کننده، دستگاه مورد آزمایش نشان داده شده است. این خطا باید به خطای سیستم اندازه گیری اضافه شود.

اضافه کردن تبدیل کننده در هر جای دیگر سیستم اندازه‌گیری نیز خطاهایی، البته کمتر از این مقدار ایجاد میکند که محاسبات را پیچیده‌تر خواهد کرد.

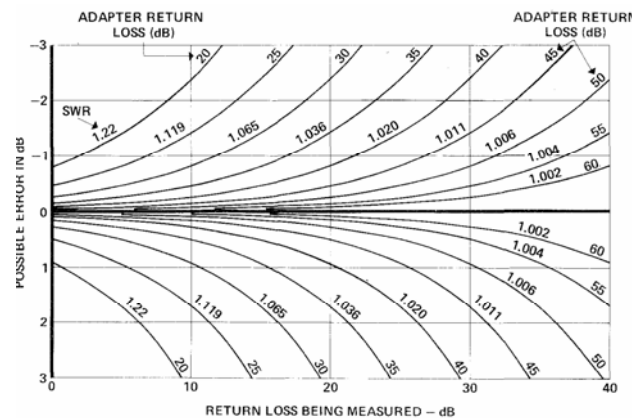


Figure 17. Uncertainty Due to Adapter Error

شکل (۲-۱۵)

### ث- خطای ناشی از هارمونیکها و سیگنالهای ناخواسته منابع تولید سیگنال

با خاطر عرض باند زیاد دتکتورها، وجود سیگنالهای ناخواسته و هارمونیکها می‌توانند خطای جدی در اندازه‌گیری ایجاد کنند. چون سیگنالهای ناخواسته در منابع، تقریباً بعلت پائین بودن سطح آنها قابل صرفنظر هستند، لذا بحث روی اثر هارمونیکها متمرکز می‌شود. اثر سیگنالهای ناخواسته نیز می‌تواند با روشی مشابه مورد بررسی قرار گیرند. محدود کردن خطاهای ممکن در اثر هارمونیکها مشکل است زیرا آنها بسته به موقعیت، در مورد وسائل اندازه‌گیری که دارای باند وسیعی هستند، دارای مشخصات غیر معینی در خارج باند هستند. دو مثال زیر چگونگی اثر این خطای را روشن می‌کنند.

وسایل اندازه‌گیری با مشخصات فرکانسی تیز، دارای حساسیت بسیار زیاد نسبت به خطای هارمونیکها هستند. فرض کنیم در شکل (۱۶-۲) یک فیلتر (NOTCH) بعنوان وسیله مورد اندازه‌گیری مورد بررسی قرار گیرد.

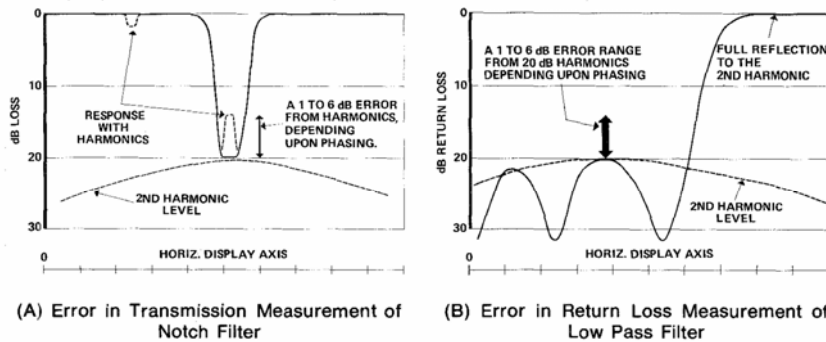


Figure 19. Errors Caused by 20 dB Harmonics

شکل (۱۶-۲)

جواب عبوری فیلتر نسبت به فرکانس با خط پرکشیده شده است. ضمناً سطح هارمونیکها نیز برای یک سویپ ژنراتور حدود ۲۰ dB زیر سیگنال اصلی مشخص شده است. در فرکانس  $F_1$  NOTCH، فرکانس اصلی ۲۰ dB تضعیف می‌شود ولی هارمونیک دوم تضعیف نشده و هر دو سیگنال با دامنه مساوی در خروجی دتکتور ظاهر می‌شوند. سیگنال هارمونیک می‌تواند خروجی دتکتور را بین ۱dB تا ۶dB، بسته به فاز آندو، تغییر دهد. با توجه باینکه فیلتر روی فاز اثر می‌گذارد، منحنی رسم شده جزئیات واقعی عمق NOTCH را مشخص می‌کند. بهمین ترتیب اثر فرکانس نصف  $F_1$  نیز اختلالاتی را ایجاد می‌کند. فیلترهای باند گذر و یا پائین گذر بخصوص نسبت به خطای هارمونیکها در اندازه‌گیری افت انعکاسی حساس هستند. وقتی اندازه‌گیری انعکاس هارمونیک اصلی در باند عبور انجام می‌شود، هارمونیکها کاملاً<sup>۲</sup> منعکس می‌شوند و لذا جداً ایجاد خطای می‌کنند.

شکل (۱۶-۲b) نشان می‌دهد که برای حالتی که هارمونیکها ۲۰ dB پائین تر از سیگنال اصلی هستند، خطای حاصل برای افت انعکاسی فیلتر پائین گذر می‌تواند تا ۶dB باشد. شکل (۱۷-۲) حدود خطای حاصل از هارمونیک دوم را نشان می‌دهد.

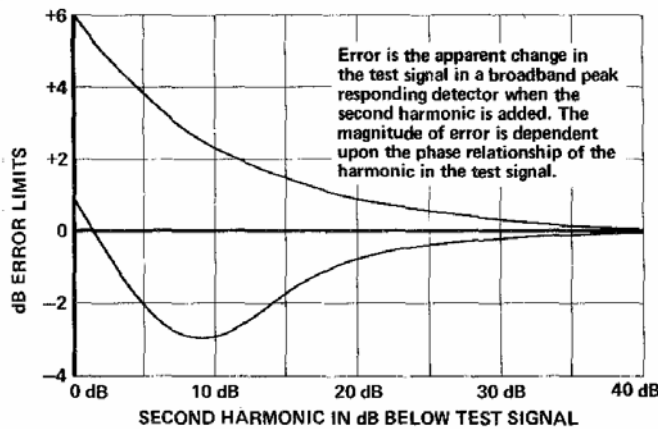


Figure 20. Second Harmonic Error Contribution Limits

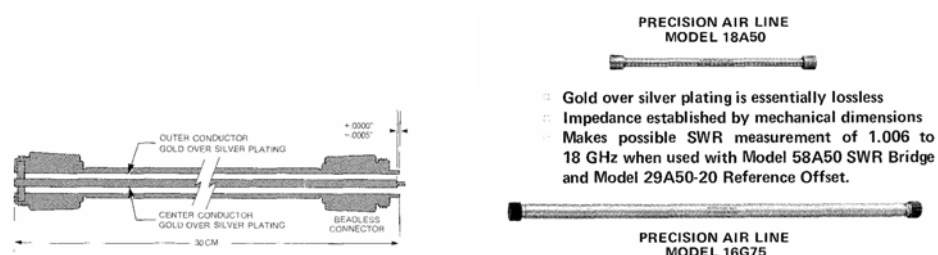
شکل (۱۷-۲)

### ۳-۱-۲- روش جدا سازی خطای انعکاس (AVERAGING) خطای متوسطگیری

در اندازه‌گیری انعکاس تعیین تولرانسها و خطاهای بسیار تعیین کننده است. در نتیجه مرغوبیت عملی یک سیستم اندازه‌گیری می‌تواند بشدت با این خطاهای مورد آسیب قرار گرفته و اختلاف زیادی بین مقادیر واقعی و مقادیر اندازه‌گیری شده بوجود آید.

برای مثال با وسایل و سیستم اندازه‌گیری قابل قبول، برای ادوات هم محور<sup>۱</sup> با ضریب انعکاسی بین ۰/۰۵ تا ۰/۲ میزان خطا حدود ۲ تا ۴dB است. با تبدیل این مقادیر به ضریب انعکاس، ملاحظه می‌شود که خطای اندازه‌گیری بسیار زیاد یعنی بین ۰/۱۸ تا ۰/۱۳ است. یعنی یک ضریب انعکاس  $\pm 60\%$  (یا ضریب سکون  $1/3$ ) می‌تواند ۰/۰۹ یا ۰/۱۸ اندازه‌گیری شود. یعنی کمیت اندازه‌گیری شده در یک حالت می‌تواند ۲ برابر همان مقدار کمیت دارای خطا باشد و برای یک ضریب انعکاس ۰/۰۵  $(SWR=1/1)$  وضعیت خیلی بدتر است یعنی مقدار اندازه‌گیری شده می‌تواند بین ۰/۰۳ تا ۰/۰۸ باشد. یعنی خطاًی حدود ۲/۶ برابر باشد. واضح است که این میزان خطاً چقدر در اندازه‌گیریها موثر است.

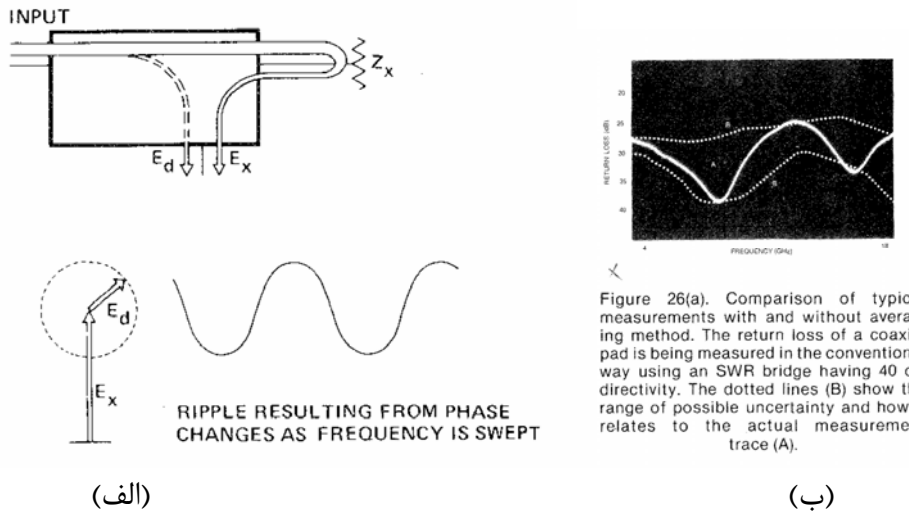
یکی از روش‌های کاهش خطای بدن خط اضافه دقیق (PRECISION AIR LINE) (شکل ۱۸-۲) جهت جدا کردن سیگنال خطای از سیگنال اصلی است. بكمک این روش ضریب انعکاسهایی حدود ۰/۰۵ را می‌توان با تقریب  $\pm 2\%$  اندازه‌گیری کرد.



شکل (۱۸-۲)

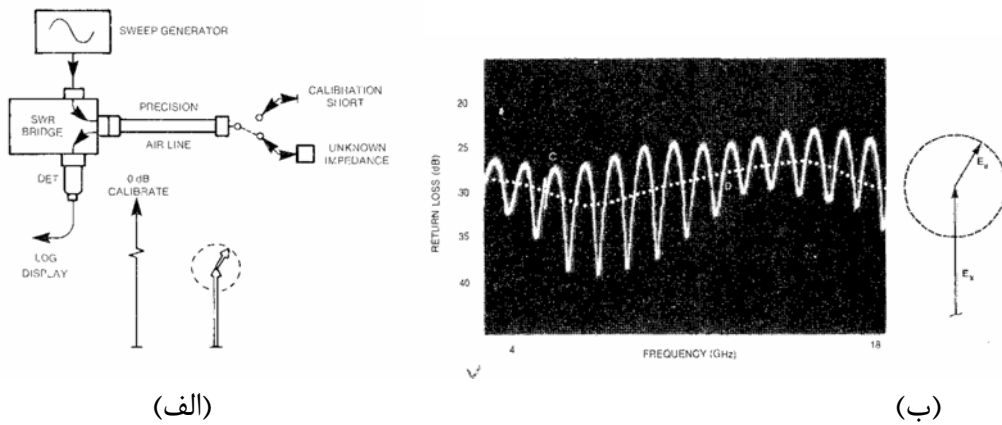
<sup>1</sup> - COAXIAL

در مدارهای رفلکتومتری سیگنال مورد نظر و سیگنال ایجاد شده توسط دایرکتیویته در شاخه اندازه‌گیری با فازهای مربوطه، که بستگی به عوامل مختلف و منجمله اختلاف مسیر دارند، خواهد رسید. (شکل ۱۹-۲)



شکل (۱۹-۲)

همان طور که در شکل نشان داده شده، با تغییر فرکانس فاز سیگنالها هم تغییر خواهد کرد. این تغییرات در عمل نسبتاً کم است و تعیین نسبت دامنه دو سیگنال (اصلی و دایرکتیویته) از ترکیب آنها قابل تشخیص نیست. اما چنانچه مطابق شکل (۲۰-۲-الف) مسیر اتصال دهانه آزمایش به وسیله‌ی مورد آزمایش (یا کالیبراسیون) افزایش یابد، اثر خط با طول زیادتر ظاهر شده و تغییرات دامنه درای توافقی بیشتر خواهد شد (شکل ۲۰-۲-ب). عبارت دیگر تغییرات فاز سیگنال شدیداً روی دامنه اثر خواهد گذاشت.



شکل (۲۰-۲)

از این شکل نتیجه می‌شود که سیگنال خطا (در اثر دایرکتیویته) بصورت تغییرات دامنه (RIPPLE) روی سیگنال اصلی ظاهر شده است. یعنی تغییرات شدید دامنه مربوط به سیگنال خطا است. با توجه به این شکلها دیده می‌شود که براحتی می‌توان سیگنال خطا را که قبلًا نایقینی نامشخصی را ایجاد می‌کرد، از سیگنال اصلی جدا کرده و میزان خطا را تعیین کرد. یعنی مقدار انعکاس مورد نظر که انعکاس وسیله‌ی مورد آزمایش است، متوسط (AVERAGE) منحنی فوق است. یعنی باید متوسط بین یک حداکثر و حداقل بعدی سیگنال پیک (PEAK) را تعیین کرد. این روش متوسط گیری خطا (ERROR AVERAGING) نامیده می‌شود. با بکاربردن این روش می‌توان سیگنال خطا را از سیگنال اصلی کاملاً جدا

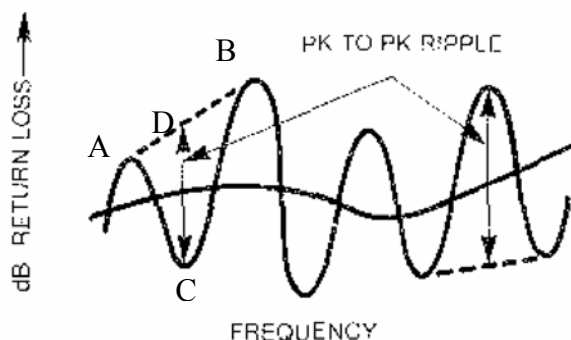
کرد. شکل (۱۹-۲) مقایسه اندازه‌گیری با روش متوسط گیری و بدون آن را نشان می‌دهد. اندازه‌گیری برای یک (PAD) کواکسیال با پل اندازه‌گیری با دایرکتیویته  $40\text{ dB}$  انجام شده است. منحنی‌های نقطه چین شده حدود نایقینی ممکن در اندازه‌گیری را نشان می‌دهد. منحنی A شکل اصلی انکاس است. در شکل (۲۰-۲) همان اندازه‌گیری ولی با اضافه کردن خط با طول زیاد انجام شده است. در اینحالت سیگنال دایرکتیویته با جارو کردن فرکانس با تغییر فاز شدیدتری روی دامنه سیگنال اصلی اثر می‌گذارد.

منحنی متوسط D از روی منحنی اصلی C بسادگی بدست آمده و لذا افت انعکاسی حقیقی را تعیین می‌کند. شکل فوق نشان می‌دهد که در بدترین حالت افت انعکاسی وسیله‌ی مورد اندازه‌گیری  $3\text{ dB}$  بهتر از اندازه‌گیری بدون استفاده از خط با طول زیاد است.

ترمیم دقیق کالیبراسیون: با بکاربردن خط با طول زیاد جهت کالیبراسیون، سیگنال انعکاسی از اتصال کوتاه با سیگنال انعکاسی در اثر عدم تطبیق دانه آزمایش ترکیب شده و ایجاد تغییرات (RIPPLE) می‌کند. با روش «متوسط گیری خط» دقیق کالیبراسیون از  $1\text{ dB}/0.1\text{ dB}$  افزایش می‌کند. این متوسط گیری معادل روشی است که گاهی اوقات با بکاربردن اتصال کوتاه و اتصال باز، هردو، انجام می‌شود.

ترمیم اندازه‌گیری سیگنال‌های ضعیف: در کاربرد «خط با طول زیاد» در اندازه‌گیری از اثر متقابل سیگنال ایجاد شده در اثر دایرکتیویته و سیگنال اصلی انعکاس استفاده شده است. با توجه به شکل دیده می‌شود که با روش کالیبراسیون مورد بحث می‌تواند سیگنال دایرکتیویته را تعیین کرد. بنابراین مقدار انعکاس مورد نظر نیز می‌توان با روش متوسط‌گیری تغییرات (RIPPLES) تعیین شود. اثر کلی روش «متوسط گیری خط»، تعیین انعکاس مستقل از میزان دایرکتیویته است. نتیجه آنست که اندازه‌گیری می‌تواند با دایرکتیویته سیستم حدود  $3\text{ dB}$  و استفاده از جدول اندازه‌گیری RF، انجام گیرد. در اینحالت تغییرات خط حدود  $0.2\text{ dB}$  و یا  $0.2\% \pm$  است که نسبت به خطای  $20\% \pm$  تا  $60\% \pm$  بسیار قابل توجه است.

برای متوسط‌گیری منحنی‌ها؛ دو نقطه ماکزیمم یا می‌نیمم مجاور (A,B) به یکدیگر متصل شده و سپس فاصله محدودی بین خط وصل شده و می‌نیمم (یا ماکزیمم) موجود بین آن (DC) بر حسب  $\text{dB}$  اندازه‌گیری می‌شود. (شکل ۲۱-۲). اگر فاصله‌ی ماکزیمم یا می‌نیمم (peak to peak) کمتر از  $2\text{ dB}$  باشد، نصب کردن این مقدار، مقدار متوسط را با تقریب خوبی مشخص می‌کند.



شکل (۲۱-۲)

چنانچه این مقدار زیاد باشد باید از جدول RF استفاده کرد. به این معنی که اگر مثلاً مقدار مذکور  $7/4\text{ dB}$  باشد مقدار متوسط  $4/4\text{ dB}$  بیشتر از می‌نیمم (نقطه C) و  $2/9\text{ dB}$  کمتر از ماکزیمم (نقطه D) است. به این ترتیب می‌توان مقدار متوسط دقیق را تعیین کرد.

جدول زیر دقت‌های عملی اندازه‌گیری شده با خط با طول زیاد و بدون آن را مشخص می‌کند. ملاحظه می‌شود که دقت بطور قابل ملاحظه‌ای افزایش یافته است.

## COMPARISON OF ACCURACIES WITH AND WITHOUT AVERAGING\*

| MEASURED<br>REFLECTION<br>COEFFICIENT | TYPICAL TOLERANCES<br>WITHOUT<br>AVERAGING TECHNIQUE               | TYPICAL TOLERANCES<br>WITH<br>AVERAGING TECHNIQUE |
|---------------------------------------|--|---|
| 0.2                                   | ± 1 dB calibration   | ± 0.1 dB calibration                              |
|                                       | ± 0.8 dB directivity error (from 35 dB directivity)                | ± 0.04 dB test port & directivity                 |
|                                       | ± 0.2 dB test port mismatch effect (from 19 dB test port mismatch) |   |
|                                       | ± 2 dB ( $\pm 20\%$ )  | ± 0.14 dB ( $\pm 2\frac{1}{4}\%$ )                |
| 0.05                                  | ± 1 dB calibration uncertainty                                     | ± 0.1 dB calibration                              |
|                                       | ± 3.0 dB directivity error   | ± 0.17 dB directivity & test port                 |
|                                       | ± 0.15 dB test port mismatch                                       |   |
|                                       | ± 4.15 dB ( $\pm 60\%$ )   | ± 0.27 dB ( $\pm 3\%$ )                           |

روش فوق می‌تواند با دایرکشنال کوپلر دوبل و یا با پل انجام شود. کوپلرهای کواکسیال دارای انعکاس داخلی بیشتری هستند. ولی کاربرد پل اندازه‌گیری خطای کمتری بوجود می‌آورد. خطوط با طول زیاد (AIRLINE) دقیق<sup>۱</sup> ضریب سکونی کمتر از  $1/100$  dB (۶۰ افت انعکاسی) دارند. ابعاد خطوط مورد استفاده در این روش باید بسیار دقیق بوده بطوریکه تغییرات امپدانسی آن حدود  $2/100$ ٪ باشد.

یکی از مسائلی که اثر مهمی در بهبود دقت اندازه‌گیری دارد، روش کالیبراسیون است. با استفاده از روش زیر می‌توان خطای مبنای کالیبراسیون را کاهش داد. در این روش برای کالیبراسیون از اتصال کوتاه و باز هردو استفاده می‌شود. شکل (۲۲-۲) مزیت حاصله را نشان می‌دهد. اتصال باز ولتاژ A را در فرکانس  $f_1$  ایجاد می‌کند.

با جارو کردن فرکانس منحنی پرتو رسم شده بوجود خواهد آمد. با بکاربردن اتصال کوتاه بجای اتصال باز یک تغییر فاز  $180^\circ$  نسبت به حالت قبلی ایجاد می‌کند که ولتاژ B در نقطه  $f_1$  و منحنی نقطه چین با جاروی فرکانس را بوجود می‌آورد. با متوسط گیری این دو منحنی دقت کالیبراسیون بطور بسیار محسوسی بهبود می‌یابد. این مقدار در فرکانس  $f_1$  در نقطه C و در فرکانس های مختلف با خط پررنگ نشان داده شده است. بهمین ترتیب در فرکانس  $f_2$  نیز ولتاژهای مربوطه نشان

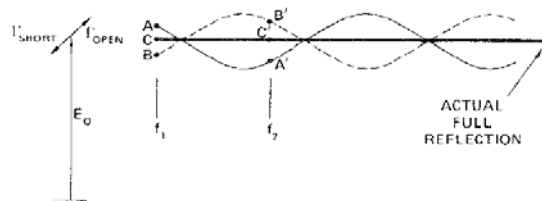


Figure 18. Preferred Reflection Calibration with Open/Short Reference

شکل (۲۲-۲)

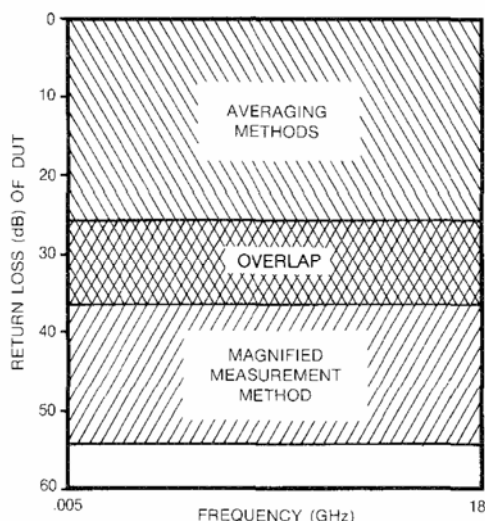
داده شده‌اند. این روش نتایج خیلی خوبی برای وقتی که عدم تطبیق در دهانه آزمایش و یا دهانه متصل شونده به منبع مهم هستند و یا نسبتاً در فاصله زیادی نسبت بهم قرار گرفته‌اند، بدست می‌دهد. عوامل نامساعدی مانند پوش در جواب به فرکانس و اثر هارمونیکها، موثر بودن این روش را محدود می‌کند.

<sup>1</sup>- ساخت شرکت ویترون (PRECISION AIR LINE)

اتصال کوتاه و یا باز مورد استفاده ، معمولاً متشکل از خطی با اختلاف طول  $\lambda/4$  هستند که البته بعلت تغییر فرکانس این طول تغییر می‌کند و بنابراین از این نظر نیز محدودیتهایی ایجاد می‌شود.

ب) بزرگ کردن سیگنال ناخواسته مبنا برای اندازه‌گیری افت انعکاسی خیلی کم در قسمت قبل نشان داده شد که چگونه می‌توان بكمک خط با طول زیاد، ضریب انعکاسهایی حدود ۵٪ (R.L.=26dB) را بدقت اندازه‌گیری کرد. این اندازه‌گیری دارای دقیق ۲۰ مرتبه بهتر از حالتی بود که خط مذکور بکار نمیرفت.

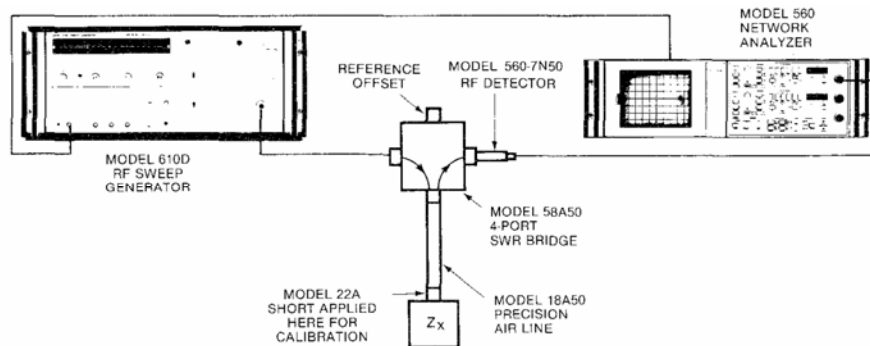
در این قسمت، منظور چگونگی اندازه‌گیری انعکاس‌هایی خیلی کمتر است. با روش زیر می‌توان با بکاربردن دایرکشنال کوپلر و یا پل انعکاسی به دایرکتیویته موثر حدود ۶۰dB رسید، و انعکاسهایی حدود و یا بیشتر از ۵۰dB را اندازه‌گیری کرد. شکل (۲۳-۲) حدود کاربرد هر روش را مشخص می‌کند.



شکل (۲۳-۲)

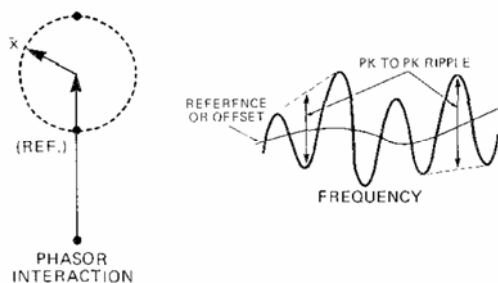
در شکل (۲۴-۲) سیستم اندازه‌گیری مشخص شده است. این سیستم با دو اختلاف، مشابه روش «متوسط گیری خط» است. یکی اینکه از پل چهار قطبی استفاده شده و دیگر آنکه شاخه‌ی مبنای پل به یک بار انتهایی که دارای انعکاسی مشخص و ثابت در طول باند فرکانس است، بسته شده است.

بار با انعکاس معین برای ایجاد انعکاسی ثابت، معمولاً ۲۰dB، طرح شده است. چون ساختمان پل طوری است که تقریباً انعکاس قابل اهمیت دیگری وجود ندارد، باین ترتیب دایرکتیویته پل برابر با ۲۰dB خواهد بود. البته دانستن مقدار این انعکاس یا دایرکتیویته، همانطور که بعداً خواهد آمد مهم نیست.



شکل (۲۴-۲)

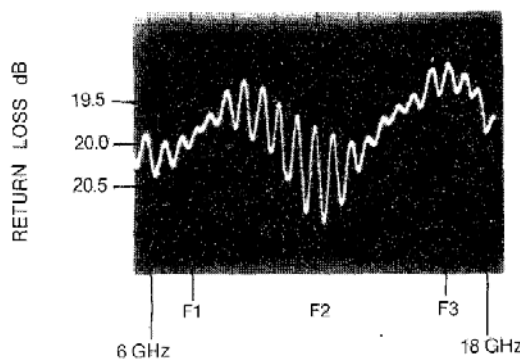
در شکل (۲۵-۲) چگونگی استفاده از این انعکاس ثابت و نسبتاً زیاد مشخص شده است. در اینجا برخلاف روش متوسط‌گیری، سیگنالی که باید اندازه‌گیری شود کوچکتر از سیگنال  $20\text{ dB}$  انعکاس از پل است. وقتی فرکانس ورودی تغییر می‌کند، همان تغییرات (RIPPLE) ایجاد می‌شود لیکن در اینحالت سیگنالهای انعکاسی اصلی وسیله‌ی اندازه‌گیری است که روی سیگنال دایرکتیویته، که در اینجا همان  $20\text{ dB}$  است سوار شده و تغییرات ایجاد می‌کند. با تعیین مقادیر ماکزیمم تا می-نیم (p.to p.) شکل اندازه‌گیری شده به  $\text{dB}$  می‌توان مانند آنچه قبلًا گفته شد مقادیر کم (مربوط به وسیله‌ی اندازه‌گیری) و زیاد (مربوط به  $20\text{ dB}$  دایرکتیویته) انعکاس را مجزا و معین کرد. محدودیت اندازه‌گیری عملاً با ضریب انعکاس خط با طول زیاد ( $60\text{ dB}$  حدود معین می‌شود. روش تعیین تغییرات حدود  $6\text{ dB}$  کمتر از  $60\text{ dB}$ ، یعنی  $54\text{ dB}$  اندازه‌گیری را اجازه می-دهد. و این معنی  $10\text{ dB}$  بهبود نسبت به سایر روش‌های اندازه‌گیری است.



شکل (۲۵-۲)

حال به تحلیل پرتو روش بزرگ کردن انعکاس مبنای پردازیم. شکل (۲۶-۲) پرتو یک اندازه‌گیری با روش زیاد کردن انعکاس را نشان می‌دهد.

ابتدا برای کالیبراسیون یک اتصال کوتاه در دهانه آزمایش قرار می‌گیرد و سیستم برای میزان انعکاس مختلف کالیبره می‌شود. پرتو حاصل، در واقع ترکیب دو سیگنال انعکاسی از خود پل، که در اثر بار با انعکاس در شاخه مبنای پل حاصل شده و معمولاً بیان کننده‌ی  $20\text{ dB}$  انعکاس است. و دیگری سیگنالی که از وسیله‌ی مورد اندازه‌گیری منعکس شده است. با تغییر فرکانس سیگنال انعکاسی از وسیله‌ی مورد آزمایش تغییراتی روی سیگنال انعکاسی ثابت پل ایجاد می‌کند. تحلیل پرتو شکل (۲۶-۲) برای نقاط نشان داده شده باین ترتیب است:

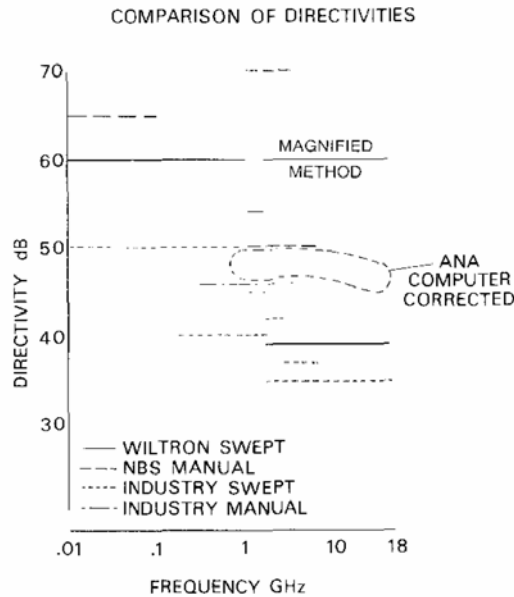


شکل (۲۶-۲)

در نقطه‌ی  $F_1$  تغییرات نوک به نوک حدود  $0.4\text{ dB}$  است. با مراجعه به جدول (RF MEAS. CHART) مشخص می‌شود که سیگنالی که سیگنال  $B$   $0.4\text{ dB}$  تغییرات ایجاد می‌کند، از سیگنال مبنای  $33\text{ dB}$  پایین‌تر است. یعنی سیگنال انعکاسی از

وسیله‌ی مورد آزمایش  $33\text{dB}$  از سیگنال منعکسه از بار با انعکاس ثابت (OFFSET) کمتر است. اما سیگنال انعکاسی از بار ثابت از تعیین متوسط تغییرات شکل فوق حاصل می‌شود و مطابق شکل در فرکانس  $F_1$  این مقدار برابر با  $20/1\text{dB}$  است بنابراین افت انعکاسی وسیله‌ی مورد آزمایش برابر با  $20/1+33=53/1\text{dB}$  خواهد بود.

به همین ترتیب برای نقاط  $F_2$  و  $F_1$  نیز این مقادیر به ترتیب  $44/2\text{dB}$  و  $52/2\text{dB}$  است. در شکل (۲۷-۲) دقت روش‌های مختلف مقایسه شده است.



شکل (۲۷-۲)

پ) اندازه‌گیری دایرکتیویته دایرکشنال کوپلر و پل اندازه‌گیری  
با استفاده از سیستم‌های اندازه‌گیری فوق، ویا بزرگ کردن دامنه تغییرات، می‌توان بدون استفاده از بار و اتصال کوتاه متغیر، دایرکتیویته را اندازه‌گیری کرد. (شکل (۲۸-۲))

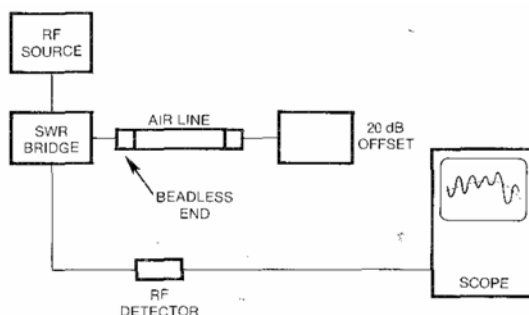


Figure 36. Test setup for measuring directivity of bridge or coupler.

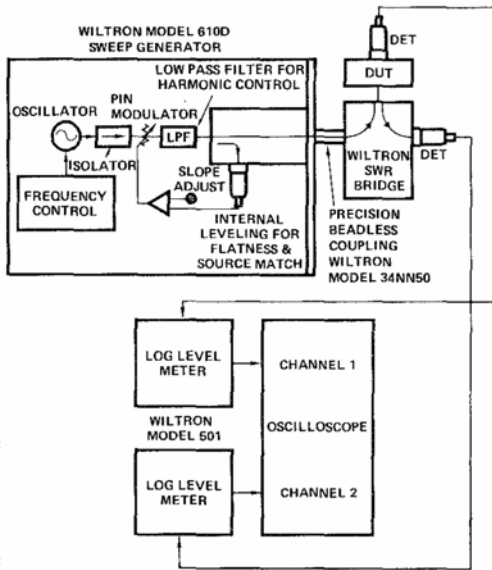
شکل (۲۸-۲)

خط با طول زیاد، همراه یک بار با انعکاس  $20\text{dB}$  به شاخه آزمایش وصل می‌شود. در اینحالت سیگنال دایرکتیویته پل بصورت تغییرات روی سیگنال مینا (OFFSET) ظاهر می‌شود. باین ترتیب دایرکتیویته دایرکشنال کوپلر را می‌توان با استفاده از تغییرات روی سیگنال (OFFSET) بدست آورد. سیگنال مذکور مطابق معمول از متوسط منحنی بدست آمده، تعیین می-

شود مثلاً اگر حدود تغییرات نوک تا نوک  $21\text{dB}$  بوده و متوسط منحنی  $21\text{dB}$  باشد با توجه به جدول (RF) ملاحظه می‌شود که مقدار دایرکتیویته برابر با  $40\text{dB} = 21 + 19$  است.

### ت) روش کاهش خطای هارمونیکهای موجود در سیگنال

راه کاهش اثر هارمونیکها افزودن یک فیلتر پائین‌گذر جهت حذف هارمونیکها به سویپ ژنراتور است. البته می‌توان این فیلتر را درست در خروجی سویپ ژنراتور قرار داد. لیکن نصب آن در داخل سویپ ژنراتور (شکل ۲۹-۲) می‌تواند نتایج بهتری داشته باشد.



شکل (۲۹-۲)

نصب فیلتر پائین‌گذر در خارج سویپ ژنراتور دارای معایب زیر است:

خروجی را با حدود  $0.5/20\text{dB}$  افت مواجه می‌کند.

با ایجاد تغییرات (RIPPLE) صافی خروجی را مختل می‌کند.

تطبیق خروجی را بهم میزند.

فاز سیگنالهای انعکاسی از منبع را تغییر می‌دهد.

مخارجی اضافی برای سیستم اندازه‌گیری تحمیل می‌کند. و بالاخره استفاده از آن فراموش می‌شود.

ولی نصب داخلی فیلتر دارای محاسن زیر است:

قدرت کامل ژنراتور (تعیین شده از طرف سازنده) مورد استفاده قرار می‌گیرد.

سیگنال همیشه فیلتر شده است.

صافی خروجی و همچنین تطبیق خروجی بهتر می‌شود.

دو مورد آخر یعنی صافی و تطبیق خروجی بعلت اینکه تنظیم سطح (LEVELLING) توسط دایرکشنال کوپلر و

پس از خروج سیگنال از فیلتر انجام شده کاملاً مورد توجه است.

وجود حلقه تنظیم سطح (LEVELLING LOOP)، خروجی از سیگنال ژنراتور را یکنواخت کرده و از اثر

فرکانسی عناصری مثل کابل، دتکتور، پلهای و کوپلرهای سیستم اندازه‌گیری جلوگیری می‌کند.

وجود ایزولاتورها نیز باعث تثبیت فرکانس شده و از اثرات سوء انعکاس فیلتر برای فرکانس‌های منعکس شده که می‌تواند باعث تغییر فرکانس شود، جلوگیری می‌کند. برای اندازه‌گیری انعکاس کاربرد پلهای انعکاسی کواکسیال که مستقیماً به خروجی ژنراتور قابل اتصال هستند بهتر است زیرا از تأثیر غیر مطلوب کابلها و اتصالات می‌کاهد.

## ۲-۲- خطأ در اندازه‌گیری افت عبوری

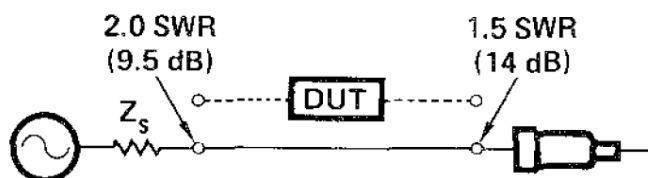
با شناسائی سیستم‌های اندازه‌گیری میزان عبور، میتوان منابع خطأ را مشخص کرد.

### ۱-۲- سیستم اندازه‌گیری افت عبوری

در اندازه‌گیری عبور (یا افت) انجام کار از دو مرحله کالیبراسیون (یا شناخت سیگنال تابش اصلی) که در آن مستقیماً دامنه سیگنال تاییده شده به دستگاه مورد اندازه‌گیری مشخص می‌شود، و مرحله اندازه‌گیری، که در آن حالت سیگنال عبوری از دستگاه تعیین می‌شود، تشکیل شده است. مقایسه این دو مقدار میزان عبور را مشخص می‌کند.

اصول مدار عبور، مطابق شکل (۳۰-۲) است. ابتدا سیگنال ژنراتور مستقیماً به دتکتور متصل شده تا عمل کالیبراسیون انجام شود. سپس عنصر مورد اندازه‌گیری (DEVICE UNDER TEST) (DUT) بین سیگنال ژنراتور و دتکتور قرار گرفته و خروجی آن پس از آشکارشدن، توسط اسکوپ و یا نشان دهنده دیگر؛ سنجیده می‌شود در صورتیکه منظور بررسی فاز سیگنال منعکسه نیز باشد می‌توان از نت ورک آنالایزر برداری<sup>۱</sup>، استفاده کرد. اختلاف حالت اندازه‌گیری و کالیبراسیون، میزان افت عبوری را تعیین می‌کند.

در هر دو حالت، انعکاس‌های منبع و دتکتور باعث ایجاد خطأ در اندازه‌گیری می‌شود.



شکل (۳۰-۲)

### ۲-۲- منابع خطأ در اندازه‌گیری افت عبوری

معمولًاً بزرگترین خطأ برای مواقعی که منظور اندازه‌گیری افت بسیار کم و یا بسیار زیاد است، پیش می‌آید. خطأ در اندازه‌گیری مقادیر وسطی، بین زیاد و کم معمولًاً مورد نظر نیست ولی بهر حال بستگی به کالیبراسیون و خطای مربوطه به کالیبراسیون سیستم دارد.

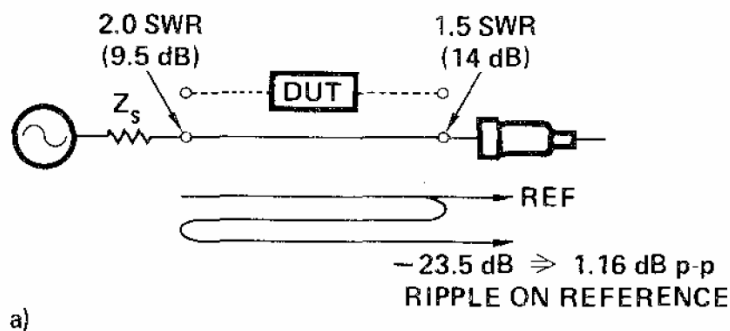
اندازه‌گیری افتهای زیاد با حدود دینامیک سیستم اندازه‌گیری که برای دتکتورهای با باند زیاد معمولًاً ۵۰ dB تا ۶۰ dB است محدود می‌شود. به این دلیل برای افتهای بالای ۴۰ dB از گیرندهای حساس قابل تنظیم (SELECTIVE) و یا از ژنراتورهای با قدرت زیاد استفاده می‌شود. حتی در این موارد نیز باید یک مبنای برای افتهای کم تعیین شود تا خطاهای بعلت انعکاسات بین عدم تطابقها معین شوند.

<sup>۱</sup> - VECTOR ETWORK ANAL

وضعیت شکل (۳۱-۲) را در نظر بگیرید. قبل از قراردادن وسیله‌ی مورد آزمایش دتکتور به انتهای شاخه آزمایش بسته می‌شود. خطاهای در اثر عدم تطابق بصورت افت انعکاسی مشخص شده، با یکدیگر جمع شده و بكمک جدول اندازه‌گیری RF تبدیل به تغییرات (RIPPLE) اندازه‌گیری می‌شود.

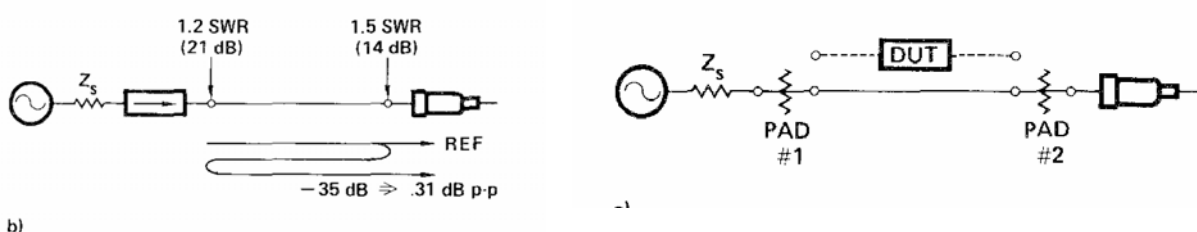
مقادیر برای حالت کالیبراسیون که سیگنال خطاب dB/5 از سیگنال اصلی کوچکتر است، تغییراتی حدود  $1/16\text{dB}$  و یا خطابی بین  $+0/56\text{dB}$  تا  $-0/6\text{dB}$  نشان می‌دهد.

وقتی وسیله‌ی مورد اندازه‌گیری اضافه می‌شود، افت عبوری آن، دو بار روی عدم تطبیق دتکتور تاثیر کرده و لذا تغییرات دامنه را کاهش می‌دهد.



شکل (۳۱-۲)

**۳-۲-۲-روش کاهش و جدا سازی خطاب در اندازه‌گیری افت عبوری**  
در اندازه‌گیری افت عبوری، بعلت اینکه فاصله (طول الکتریکی) بین منبع و دتکتور در دو حالت کالیبراسیون و اندازه‌گیری (بخاطر اضافه شدن طول دستگاه در حالت اندازه‌گیری) تغییر می‌کند، فاز و پریود تغییرات دامنه در دو حالت متفاوت بوده و لذا نا یقینی (UNCERTAINTY) را افزایش می‌دهد. چنانچه وسیله مورد آزمایش دارای تطبیق خوب در ورودی و خروجی خود نباشد، میزان تغییرات به این علی نیز افزایش می‌یابد. نایقینی در این اندازه‌گیریها را می‌توان با تطبیق بهتر کاهش داد. در شکل (۳۲-۲-الف) اضافه کردن یک ایزولاتور می‌تواند انعکاس منبع با ضریب سکون ۲ را به  $1/2$  کاهش داده و تغییرات اندازه‌گیری از  $1/16\text{dB}$  به  $1/31\text{dB}$  کاهش یابد. البته وجود ایزولاتور مختصراً از حدود دینامیک اندازه‌گیری می‌کاهد. اگر منظور اندازه‌گیری افت عبوری خیلی کم باشد مدار شکل (۳۲-۲-ب) مناسب است. اضافه کردن PAD های  $6\text{dB}$  یا  $10\text{dB}$ ، به مقدار کافی از دامنه تغییرات مبنای اندازه‌گیری خواهد کاست. در اینحالت دقت، محدود به میزان تطبیق دهانه ورودی و خروجی وسیله اندازه‌گیری با PAD ها است.



(الف)

(ب)

شکل (۳۲-۲)

## فصل سوم

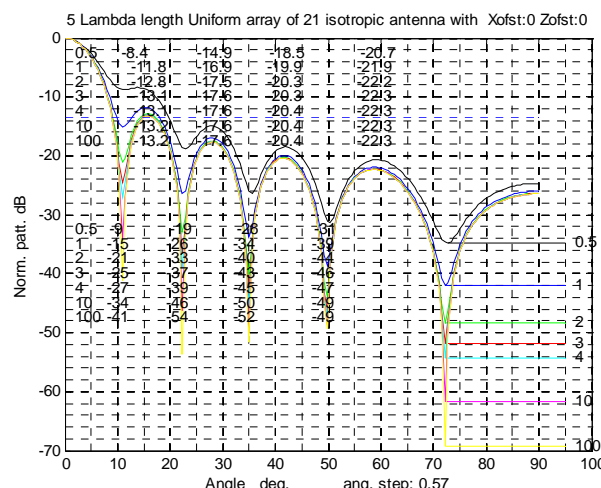
### خطا در اندازه گیری های آنتن

یکی از خطاهای رعایت نکردن فاصله آنتن‌ها و همچنین وضعیت قرار گرفتن آنتن روی گرداننده بوده و دیگری خطای سیگنال‌های مراحم در آزمایشگاه آنتن است که از انعکاسات و سیگنال‌های ناخواسته تشعشع کننده‌های دیگر، غیر از آنتن فرستنده، تشکیل می‌شود.

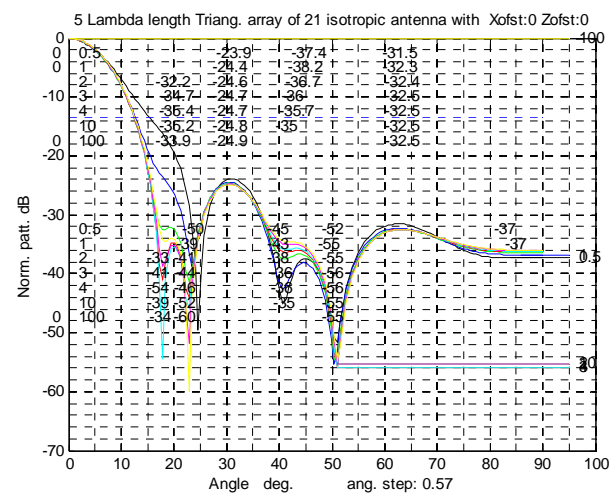
#### ۱-۳- خطاهای مشترک در میدان‌های آزمایش آنتن

عدم رعایت حد میدان دور برای فاصله آنتن فرستنده و گیرنده و همچنین قرار گرفتن آنتن روی گرداننده‌ها، باعث خطاهای اندازه گیری خواهد شد.

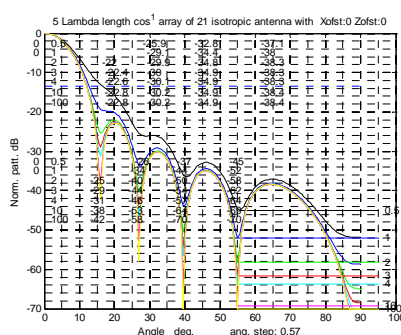
(الف) - خطای فاصله: معمولاً حد فاصله با رابطه  $2D^2 / \lambda \geq R$  بیان می‌شود. ولی این مقدار به توزیع جریان (یا میدان برای آنتن پنجره‌ای) نیز بستگی دارد. رعایت نکردن این مورد می‌تواند از عمق نولهای کاسته و باعث تداخل لوبهای کناری و لوب اصلی شود. در شکل (۳۳-۲) شکل پرتو یک رشته آنتن با توزیع جریان‌های مختلف، برای اندازه گیری در فاصله‌های مضاربی از  $d^2 / \lambda$  دیده می‌شود. شکل‌ها نشان میدهد که چگونه دامنه لوب‌های فرعی، عرض لوب اصلی و عمق نولهای به این فاصله حساس است.



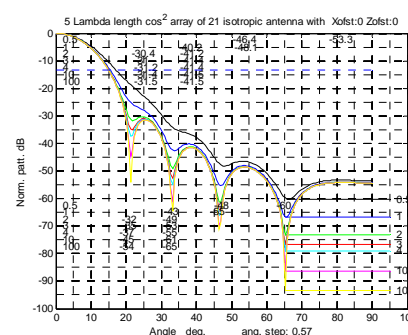
توزیع یکنواخت



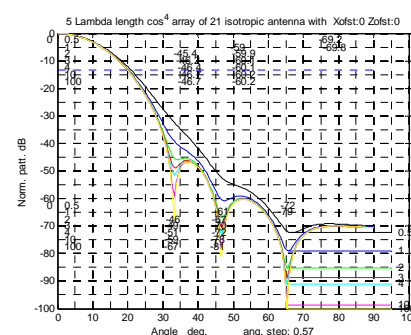
توزیع مثلثی



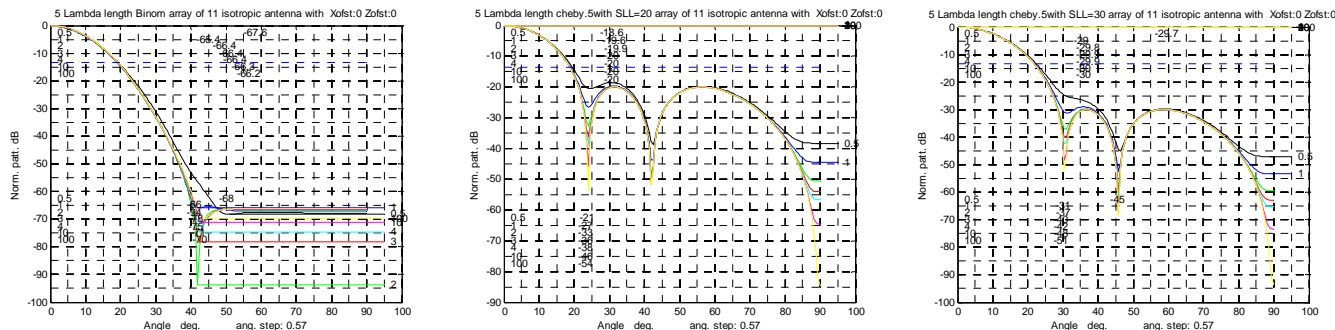
$\cos^1$  توزیع



$\cos^2$  توزیع



$\cos^4$  توزیع



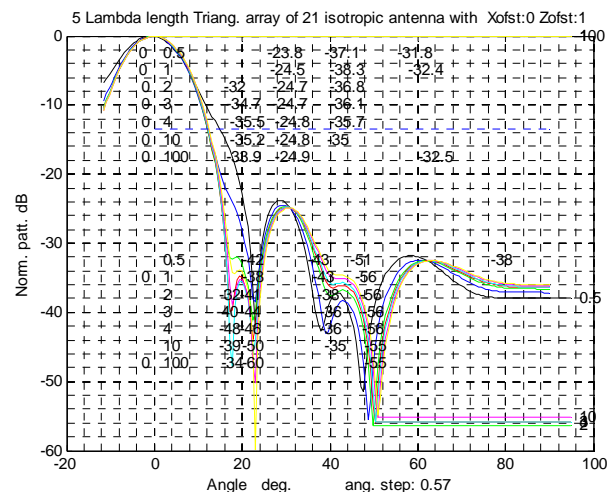
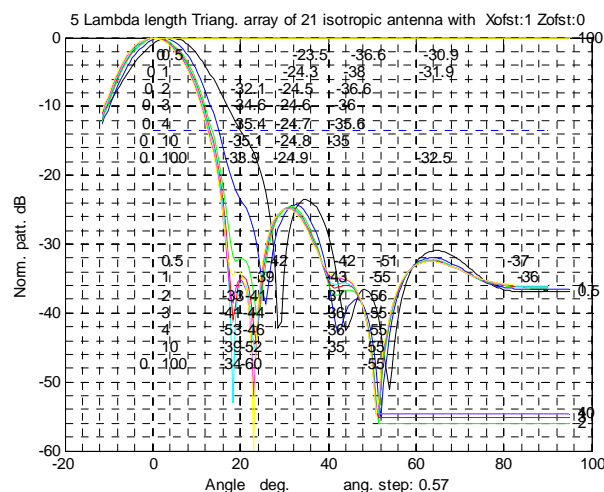
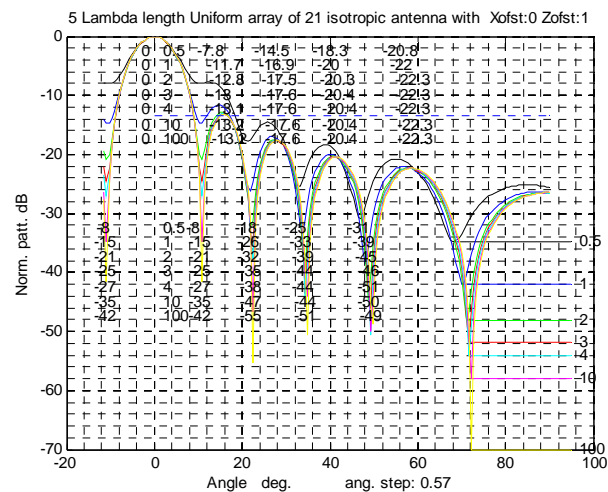
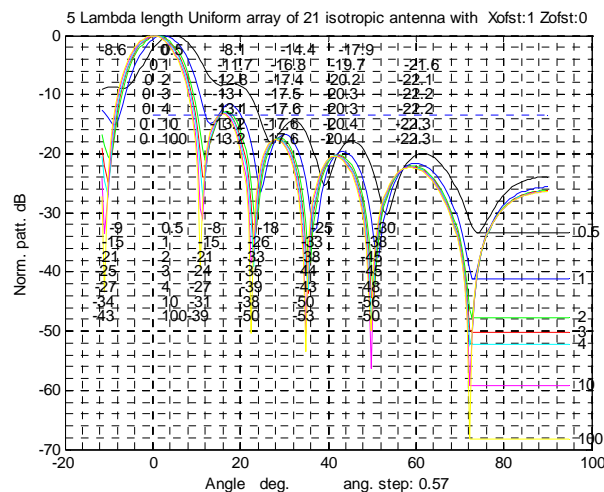
توزيع باینومیال(11 تائی)

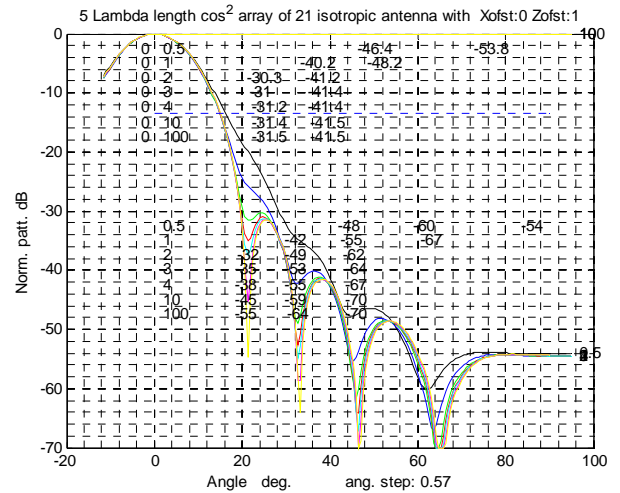
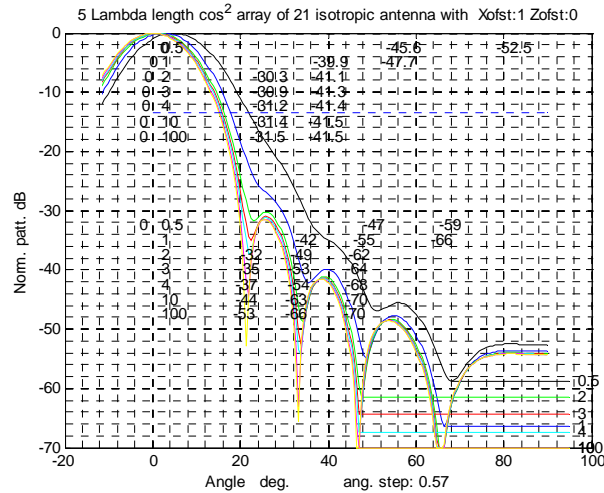
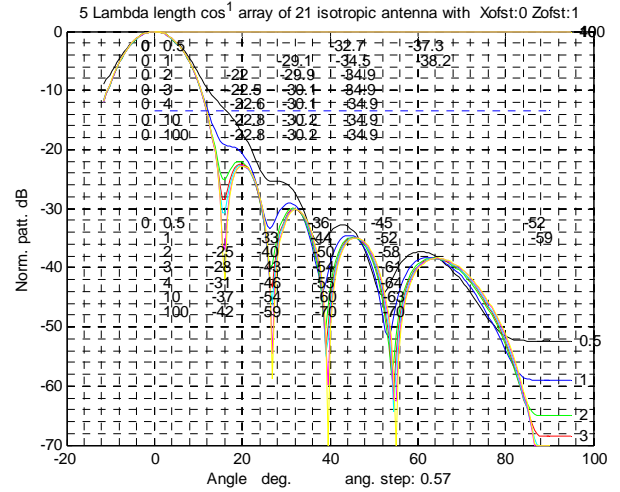
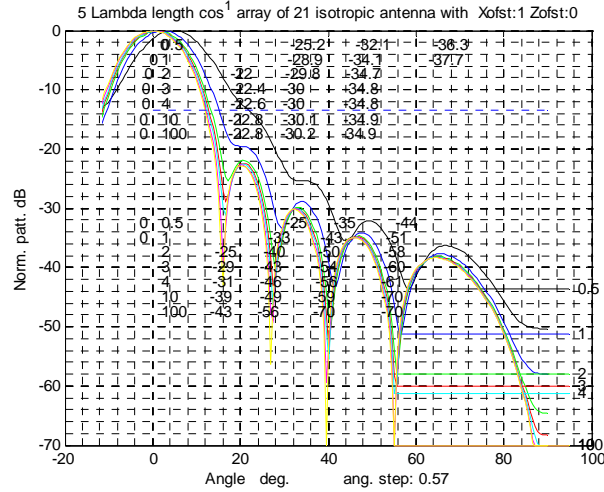
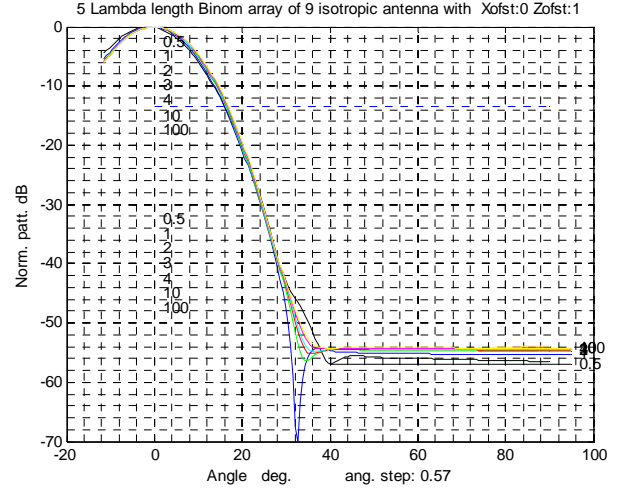
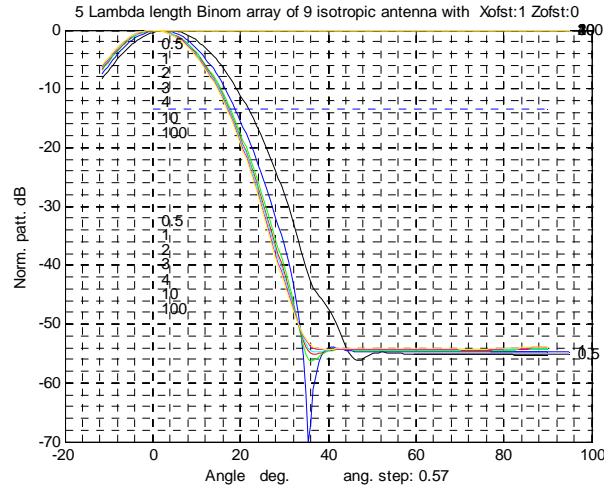
توزيع چپی چف 30dB

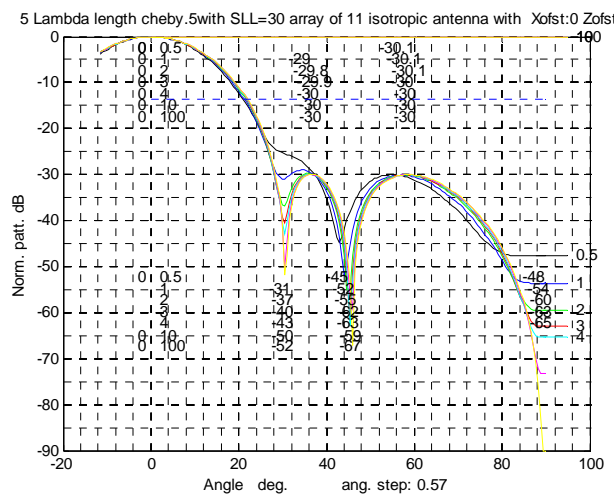
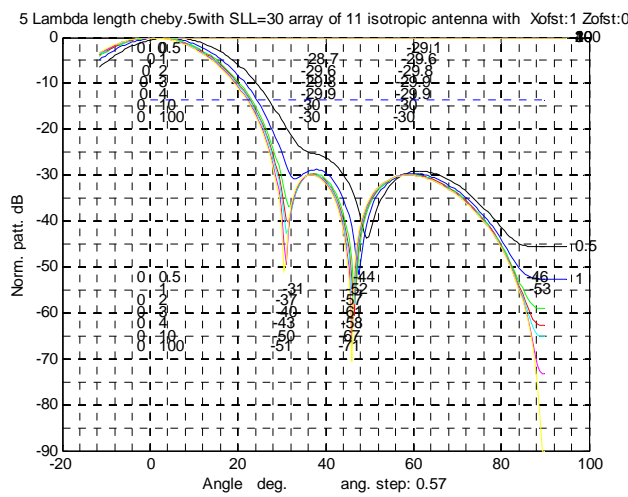
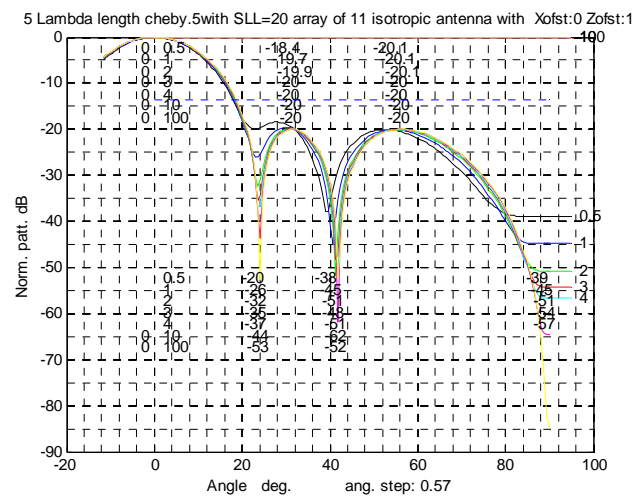
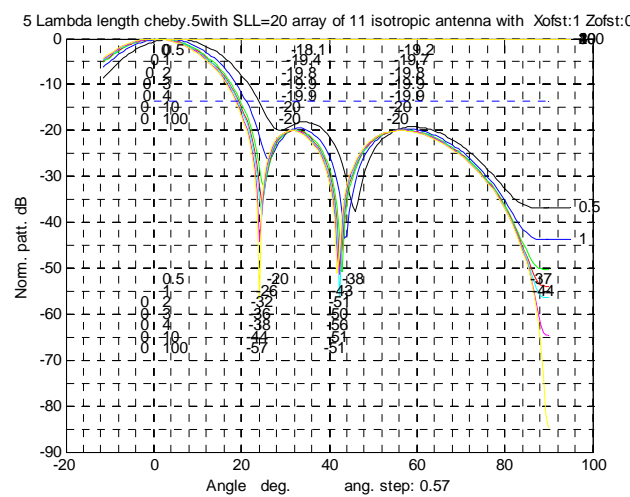
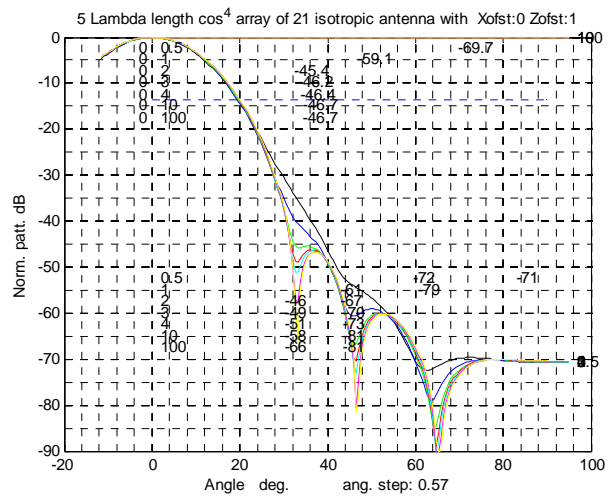
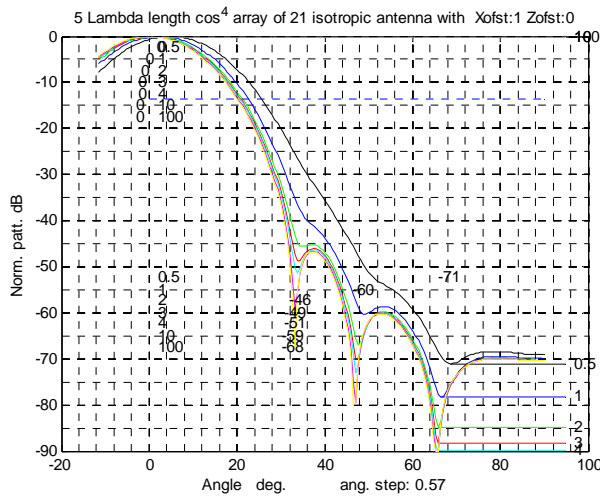
شکل (۳۳-۲)

توزيع چپی چف 30dB

ب)- خطای جابجایی آنتن در حال نصب روی پایه : پرتو به وضعیت قراردادن آنتن روی گرداننده ها نیز حساس بوده و باید سعی شود که مرکز فاز تقریبی آنتن روی مرکز گردش دستگاه قرار داده شود. این موضوع بخصوص برای رشته ها نت ها اهمیت ویژه دارد. در شکل (۳۴-۲) این موضوع برای همان رشته آنتن ها در حالی که جابجایی به اندازه یک طول موج در جهت محور  $x$  (چپ و راست قرار گرفتن) اتفاق بیافتد نشان داده شده است







شکل (۳۴-۲)

در حالات بالا آنتن ها نقطه ای هستند. در جزوه ای که در دست تهیه است، اطلاعات دقیقتری برای همه حالات

درج شده است.

### ۳-۲-خطا در میدان های باز آزمایش آنتن

در میدان های باز ، انعکاس اصلی از زمین است که با شیب دار کردن زمین و یا قراردادن گاوه های متفرق کننده، کاهش می یابد.

سیگنال مزاحم دیگر ، تشعشع کننده های شهری مانند آنتن های فرستنده تلویزیونی ، بیسیم ها و فرستنده های تلفن همراه و یا مشابه آنها است.

چون عرض باند کریستال دتکتور ها زیاد است، استفاده از آن ها میتواند خطای جدی ایجاد کند. برای کاهش این آثار، میتوان از گیرنده های باند خیلی باریک مانند اسپکترم آنالایزر ها استفاده کرد. عرض باند این دستگاه ها در حدود چندین هرتز بوده و بنابراین دارای حساسیت خیلی بالا به فرکانس ورودی هستند. بنابراین اگر فرکانس فرستنده مزاحم با فرکانس آنتن مورد آزمایش تقریباً یکی باشد، با توجه به اینکه معمولاً آنتن ها نسبت به تغییر جزئی (در حد چند کیلوهرتز) حساسیت زیاد ندارند، میتوان آزمایش را در فرکانسی نزدیک فرکانس کار مورد نظر انجام داد بدون اینکه تداخل انجام شود.

### ۳-۳-خطا در اتاق های بدون انعکاس

در این مورد انعکاس از جاذب ها و ادوات اندازه گیری است. یک جاذب هرمی مناسب باید دارای ارتفاعی حدود ۳ برابر طول موج باشد. بنابراین حد فرکانس پائین یک آزمایشگاه را ارتفاع جاذبهای آن تعیین میکند. حساست در فرکانس بالا، سالم بودن جاذبهای (نداشتن شکستی در سر هرم ها) و هم چنین دقت در موقع ساخت است که سطح جاذب هرمی ناصاف و یا پله دار نشده باشد. هم چنین نصب قطعات در کنار هم نیز باید با دقت انجام شود.

مثال آزمایشگاهی که مرغوبیت (میزان انعکاس موج در اتاق) آن حدود  $dB = 40$  باشد، با استفاده از جدول  $RF$ ، میتواند روی گلبرگ اصلی خطای حدود  $0.87dB \pm 0.08dB$  ایجاد کند. در صورتیکه گلبرگ فرعی این آنتن که مثلاً  $20 dB$  از گلبرگ اصلی آن کوچکتر است خطای حدود  $-91dB$ ،  $-82dB$  و  $-82.8dB$  خواهد داشت.

همین آزمایشگاه در فرکانس های پائین تر دارای انعکاسی بیشتر و مثلاً حدود  $dB = 20$  است. در اینصورت خطا روی گلبرگ اصلی  $-82.8dB$  بوده ، ولی گلبرگ فرعی (بستگی به فاز) میتواند  $6dB$  بیشتر نشان داده شده و یا اصلاً حذف شود.

در مورد انعکاس از ادوات ، میتوان آن ها را با جاذبهای قابل جابجایی پوشاند.

سیگنال مزاحم از خارج از اتاق هم میتواند خطا ایجاد کند. بهترین روش جلوگیری، شیلد کردن اتاق است. هم چنین باید در هنگام آزمایش، دستگاه های مانند بیسیم و یا تلفن همراه حتماً غیر فعال باشد.

### ۴-خطا در اندازه گیری روش میدان دور از نزدیک

در اندازه گیری میدان دور از نزدیک، باید خطا در اثر ابعاد پنجره ای که میدان روی آن اندازه گیری میشود، فاصله آنتن تا پنجره، فاصله نقاط نمونه برداری روی پنجره، خطا در اندازه گیری فاز بعلت تغییرات مکانیکی که در طول و وضعیت کابل و کانکتورها پیش میاید، خطا در اثر نقطه ای نبودن آنتن نمونه بردار، اثر جایگزینی میدان مغناطیسی با مقدار  $E/7$  (بهای اندازه گیری میدان مغناطیسی)، و جابجایی آنتن در هر مورد در نظر گرفته شود. در [۱] و [۲] این آثار برای آنتن های با گلبرگ

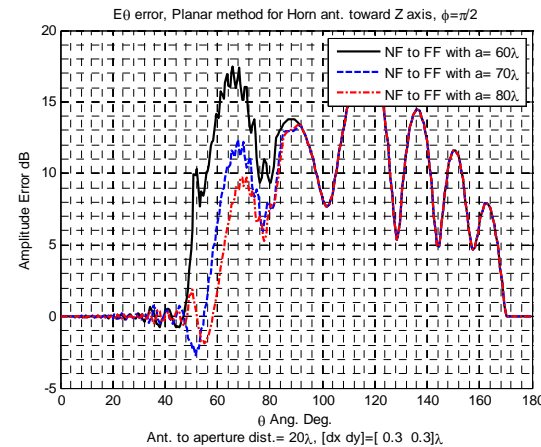
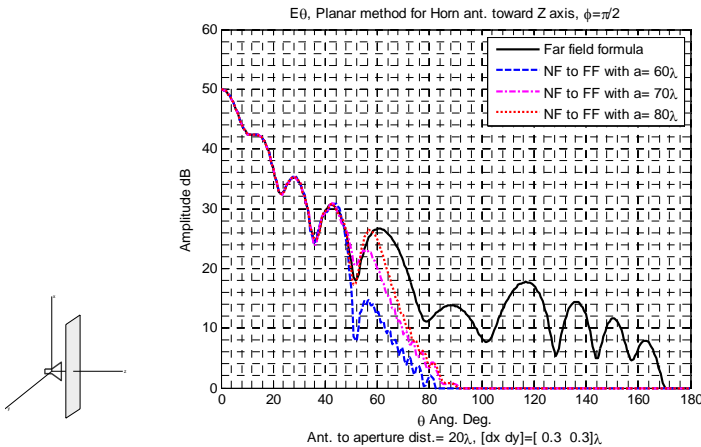
پهن(آنتن عنصر جریان) و هم چنین آنتن های بوقی با بهره های مختلف صفحه ای ، استوانه ای و کروی، بطور مفصل بررسی و نتایج ارائه شده است.

### ۱-۴-۳- خطاب برای آنتن بوقی

در این قسمت ما بطور اجمالی به بررسی خطاب برای آنتن بوقی با دایرکتیویته تقریبی  $22/3 \text{ dB}$ ، با روش های مختلف میپردازیم. شکل های سمت راست بیان کننده میزان خطاب بوده و در زیر هر شکل خصوصیات نوشته شده است.

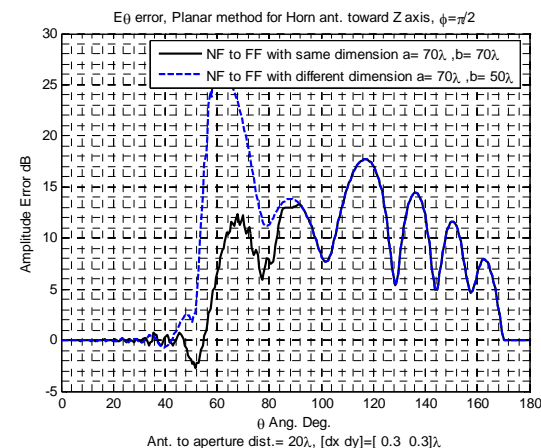
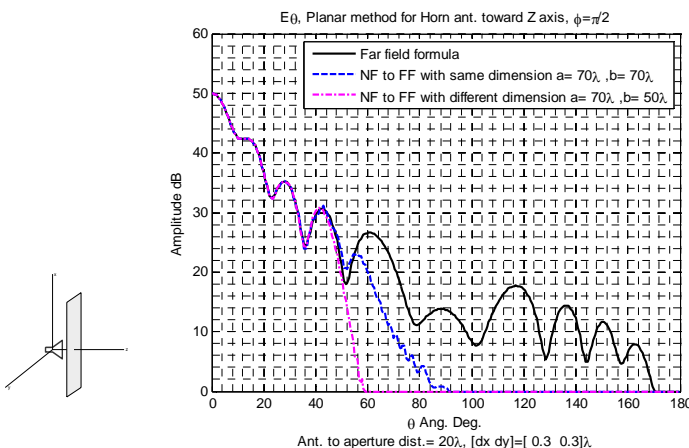
#### ۱) روش صفحه ای

##### الف: اثر تغییر ابعاد سطح نمونهبرداری



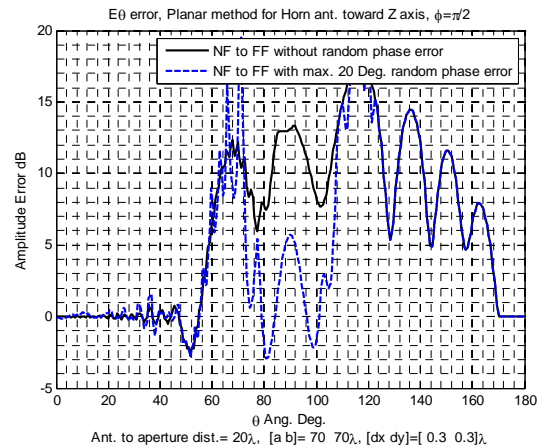
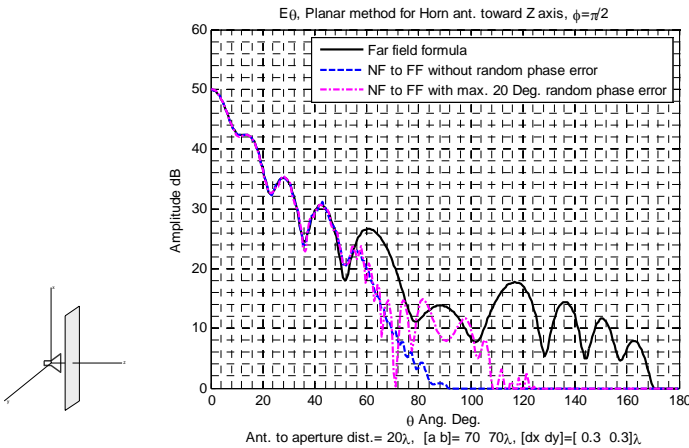
مقایسه میدان دور آنتن بوقی، با میدان دور بدست آمده از تحلیل میدان نزدیک روی سطح نمونهبرداری، به ابعاد  $60\lambda$ ،  $70\lambda$  و  $80\lambda$  و با فاصله  $20\lambda$  از آنتن.

##### ب: اثر متفاوت بودن طول و عرض سطح نمونهبرداری



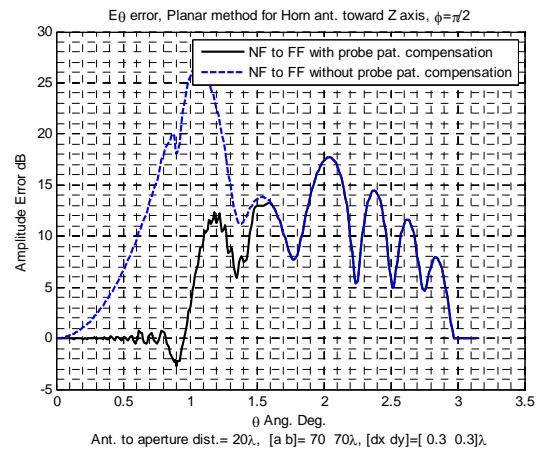
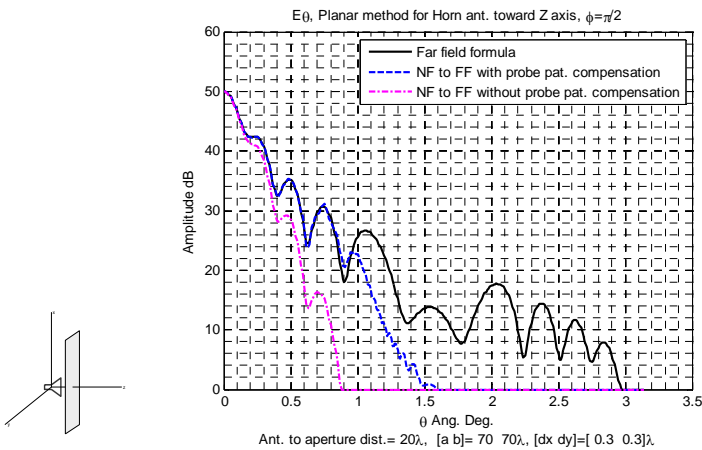
مقایسه میدان دور آنتن بوقی، با میدان دور بدست آمده از تحلیل میدان نزدیک روی سطح نمونهبرداری، با پهنا و ارتفاع متفاوت و با فاصله  $20\lambda$  از آنتن.

##### ج: اثر تغییرات جزئی تصادفی فاز



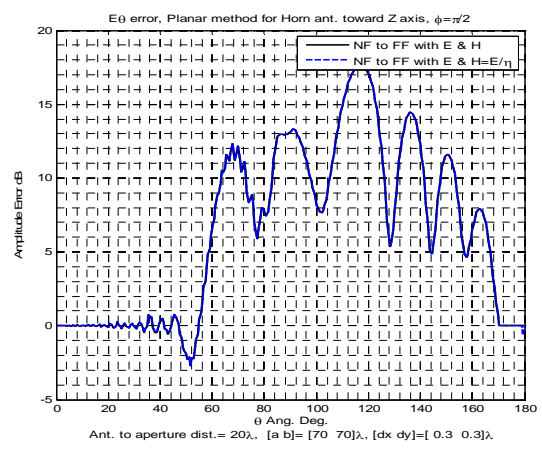
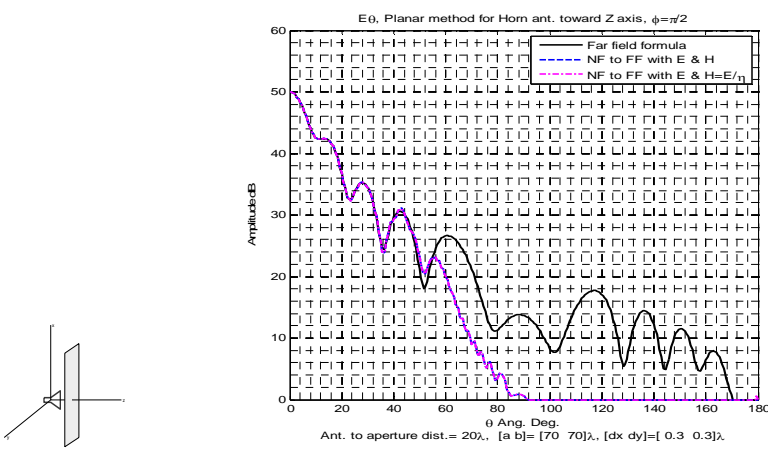
مقایسه میدان دور آنتن بوقی، با میدان دور بدست آمده از تحلیل میدان نزدیک روی سطح نمونه برداری صفحه‌ای، با ابعاد  $20\lambda \times 70\lambda$  از آنتن و بررسی اثر تغییرات جزئی تصادفی فاز با حداکثر مقدار ۲۰ درجه.

#### د: اثر پرتو آنتن نمونه بردار



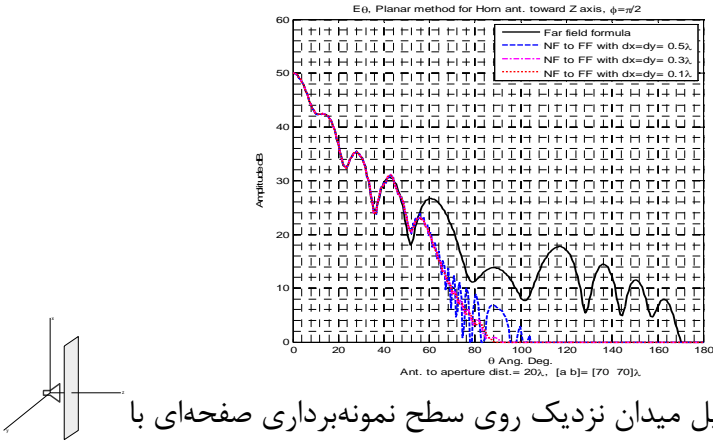
مقایسه میدان دور آنتن بوقی، با میدان دور بدست آمده از تحلیل میدان نزدیک روی سطح نمونه برداری صفحه‌ای، با ابعاد  $20\lambda \times 70\lambda$  از آنتن و بررسی اثر پرتو نمونه بردار.

#### و: اثر در نظر گرفتن $E/\eta$ به جای $H$



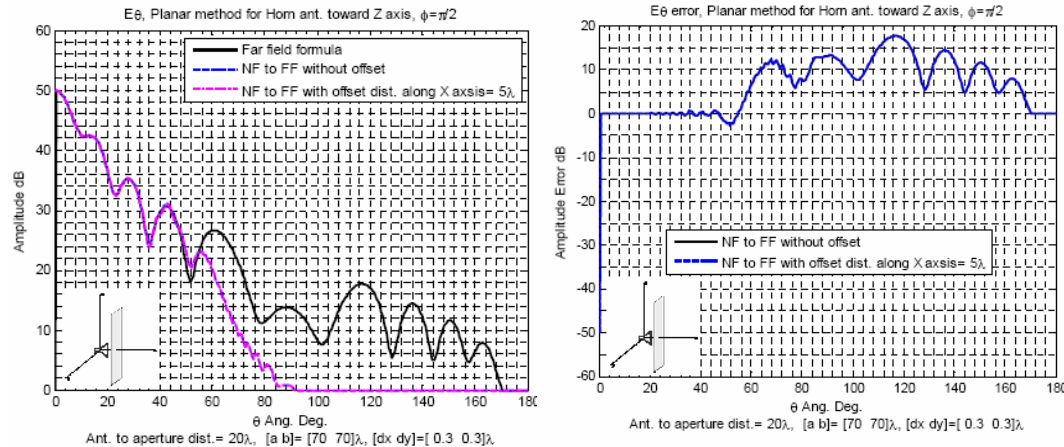
مقایسه میدان دور آنتن بوقی، با میدان دور بدست آمده از تحلیل میدان نزدیک روی سطح نمونه برداری صفحه‌ای، با ابعاد  $20\lambda \times 70\lambda$  از آنتن و بررسی اثر استفاده از  $E/\eta$  به جای  $H$ .

## ز: اثر فاصله نقاط نمونهبرداری

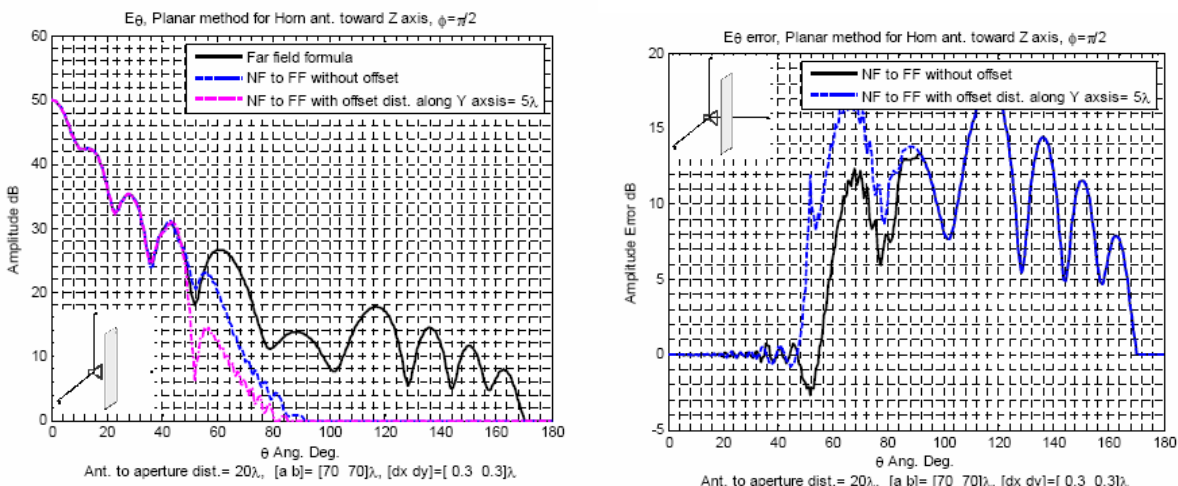


مقایسه میدان دور آتن بوقی، با میدان دور بدست آمده از تحلیل میدان نزدیک روی سطح نمونهبرداری صفحه‌ای با  $20\lambda \times 20\lambda$  و فاصله‌ی ۲۰ آتن برای فواصل نمونهبرداری طولی  $0.05\lambda$ ،  $0.1\lambda$  و  $0.3\lambda$

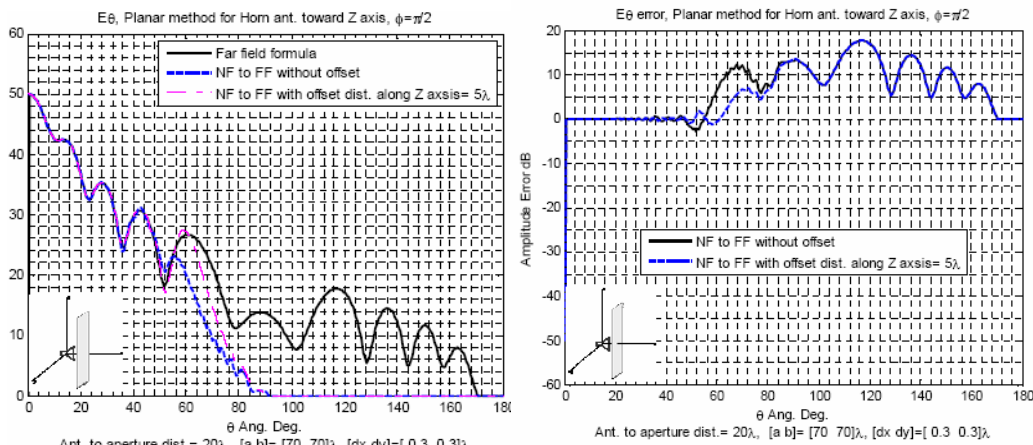
## ط: اثر جایه‌جایی آتن مورد اندازه‌گیری



مقایسه میدان دور آتن بوقی، با میدان دور بدست آمده از تحلیل میدان نزدیک روی سطح نمونهبرداری صفحه‌ای با ابعاد  $20\lambda \times 20\lambda$  و فاصله‌ی ۲۰ آتن و بررسی اثر جایه‌جایی آتن در جهت محور X



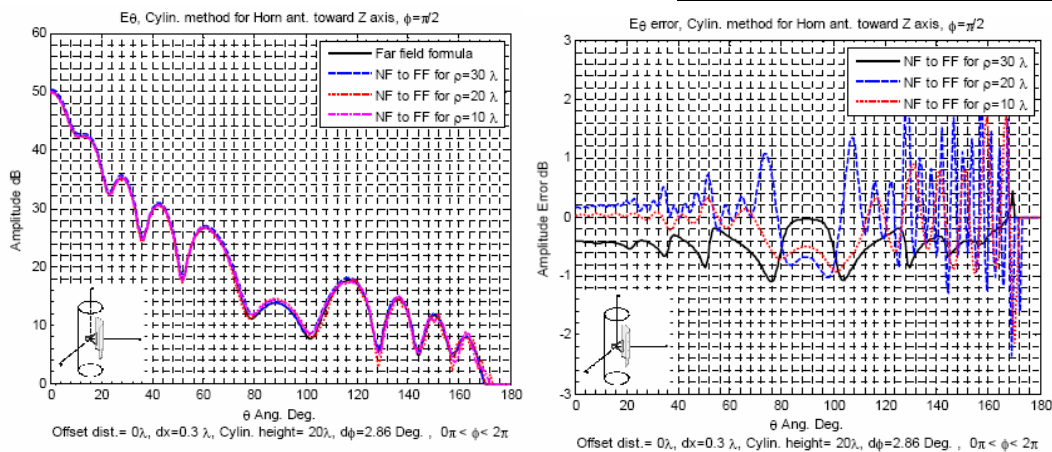
مقایسه میدان دور آتن بوقی، با میدان دور بدست آمده از تحلیل میدان نزدیک روی سطح نمونهبرداری صفحه‌ای با ابعاد  $20\lambda \times 20\lambda$  و فاصله‌ی ۲۰ آتن و بررسی اثر جایه‌جایی آتن در جهت محور Y



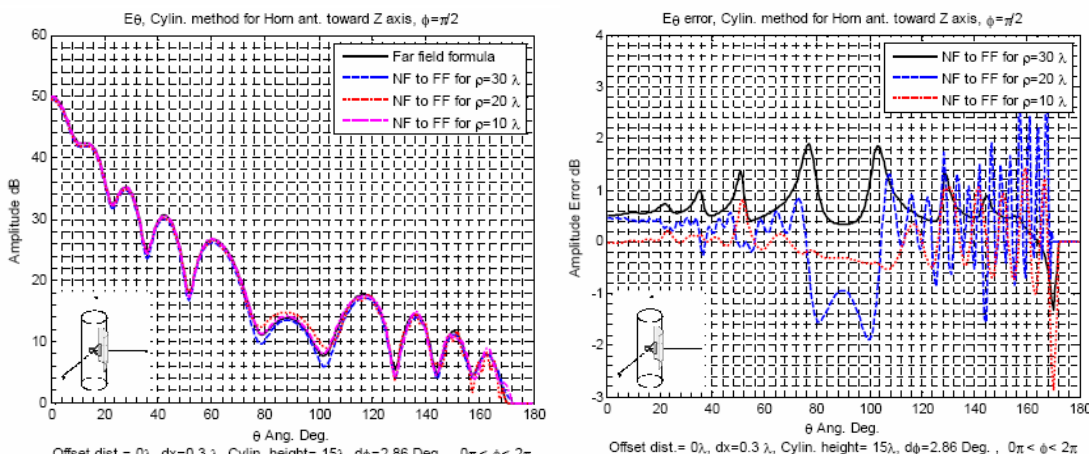
مقایسه میدان دور آتن بوقی، با میدان دور بدست آمده از تحلیل میدان نزدیک روی سطح نمونه برداری صفحه‌ای با ابعاد  $Z$  از آتن و بررسی اثر جایه‌جایی آتن در جهت محور  $Z$

## ۲) روش استوانه‌ای

### الف: اثر تعییر شعاع استوانه نمونه برداری

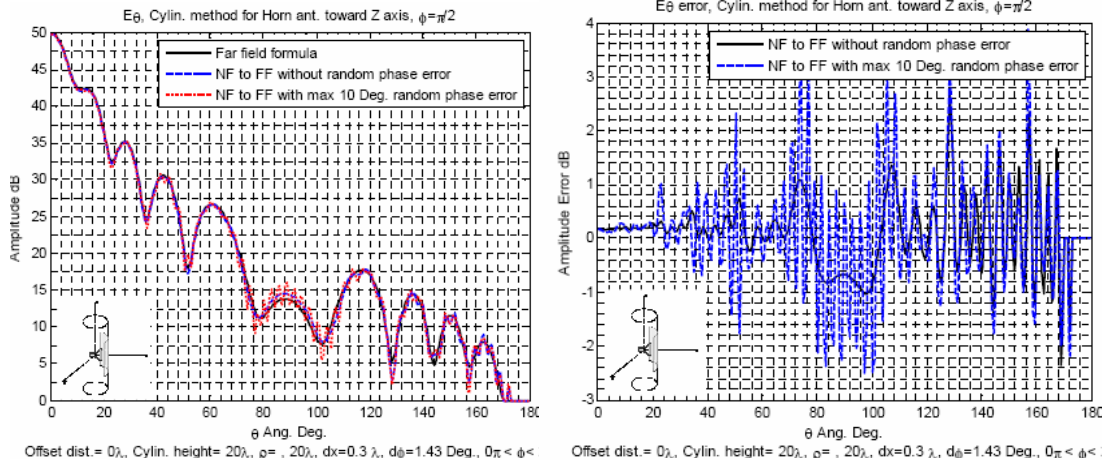


مقایسه میدان دور آتن بوقی، با میدان دور بدست آمده از تحلیل میدان نزدیک روی سطح نمونه برداری استوانه‌ای، با شعاع‌های  $20\lambda$  و  $30\lambda$  و  $20\lambda$  و  $10\lambda$  و با ارتفاع  $20\lambda$

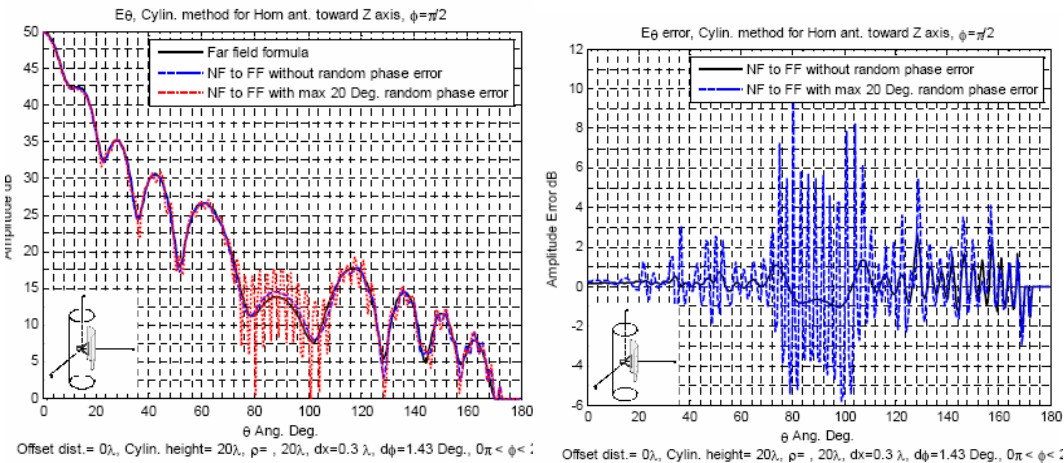


مقایسه میدان دور آتن بوقی، با میدان دور بدست آمده از تحلیل میدان نزدیک روی سطح نمونه برداری استوانه‌ای، با شعاع‌های  $15\lambda$  و  $20\lambda$  و  $30\lambda$  و  $20\lambda$  و  $10\lambda$  و با ارتفاع  $15\lambda$

## ب) اثر تغییرات جزئی تصادفی فاز

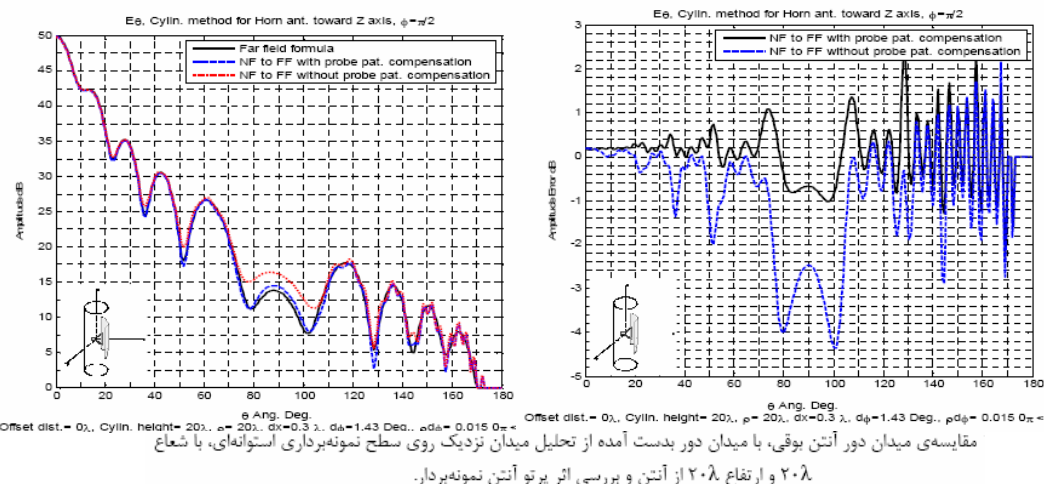


مقایسه میدان دور آتن بوقی، با میدان دور بدست آمده از تحلیل میدان نزدیک روی سطح نمونهبرداری استوانهای، با شعاع ۲۰ $\lambda$  و ارتفاع ۲۰ $\lambda$  از آتن و تغییرات جزئی تصادفی فاز با حداکثر مقدار ۱۰ درجه.



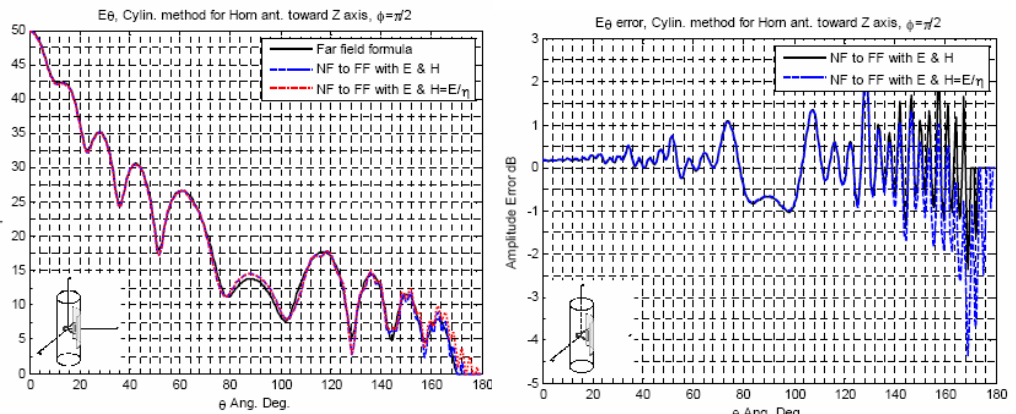
مقایسه میدان دور آتن بوقی، با میدان دور بدست آمده از تحلیل میدان نزدیک روی سطح نمونهبرداری استوانهای، با شعاع ۲۰ $\lambda$  و ارتفاع ۲۰ $\lambda$  از آتن و تغییرات جزئی تصادفی فار با حداکثر مقدار ۲۰ درجه.

## ج: اثر پرتو آتن نمونه بردار



مقایسه میدان دور آتن بوقی، با میدان دور بدست آمده از تحلیل میدان نزدیک روی سطح نمونهبرداری استوانهای، با شعاع ۲۰ $\lambda$  و ارتفاع ۲۰ $\lambda$  از آتن و بررسی اثر پرتو آتن نمونهبردار.

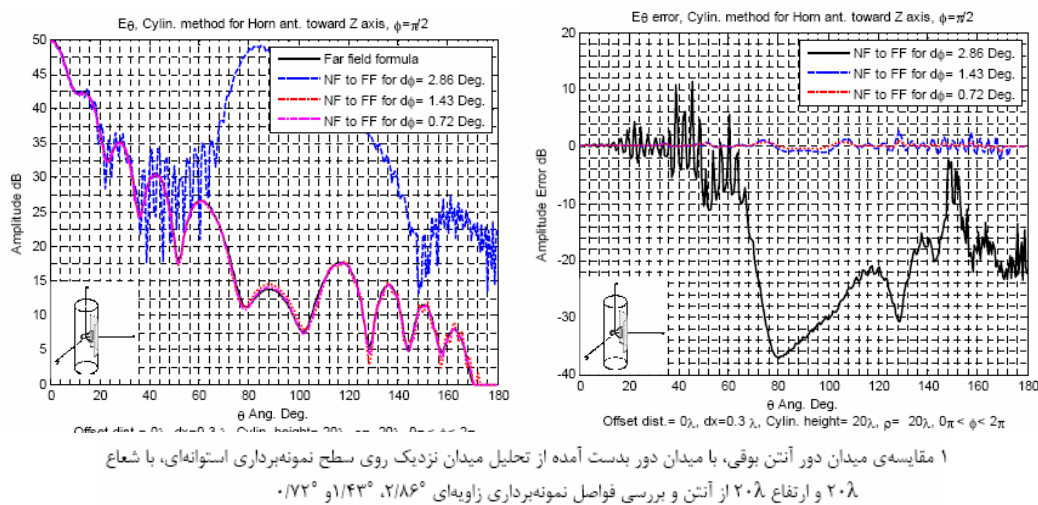
## و: اثر در نظر گرفتن $E/\eta$ به جای H



مقایسه میدان دور آتن بوقی، با میدان دور بدست آمده از تحلیل میدان نزدیک روی سطح نمونهبرداری استوانهای، با شعاع

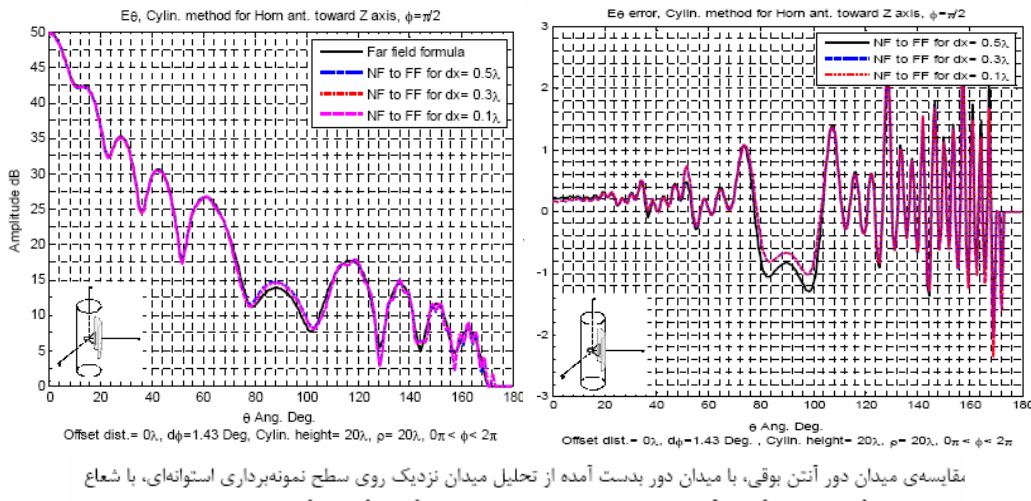
$H/\eta$  و ارتفاع  $2\lambda$  از آتن و بررسی اثر استفاده از  $H/\eta$  به جای

## ه: اثر فواصل نمونه برداری زاویه ای و طولی



مقایسه میدان دور آتن بوقی، با میدان دور بدست آمده از تحلیل میدان نزدیک روی سطح نمونهبرداری استوانهای، با شعاع

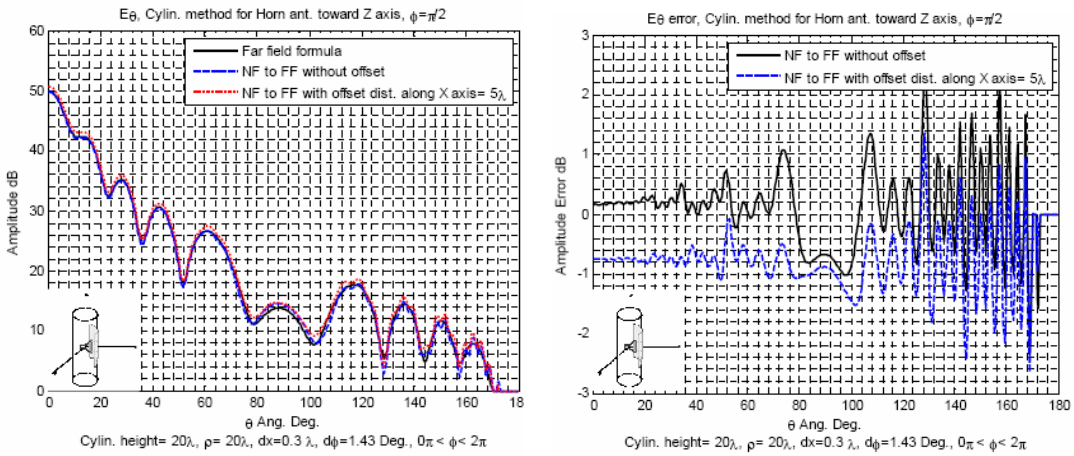
$2\lambda$  و ارتفاع  $2\lambda$  از آتن و بررسی فواصل نمونهبرداری زاویه ای  $2/86^\circ$ ,  $1/43^\circ$  و  $1/72^\circ$



مقایسه میدان دور آتن بوقی، با میدان دور بدست آمده از تحلیل میدان نزدیک روی سطح نمونهبرداری استوانهای، با شعاع

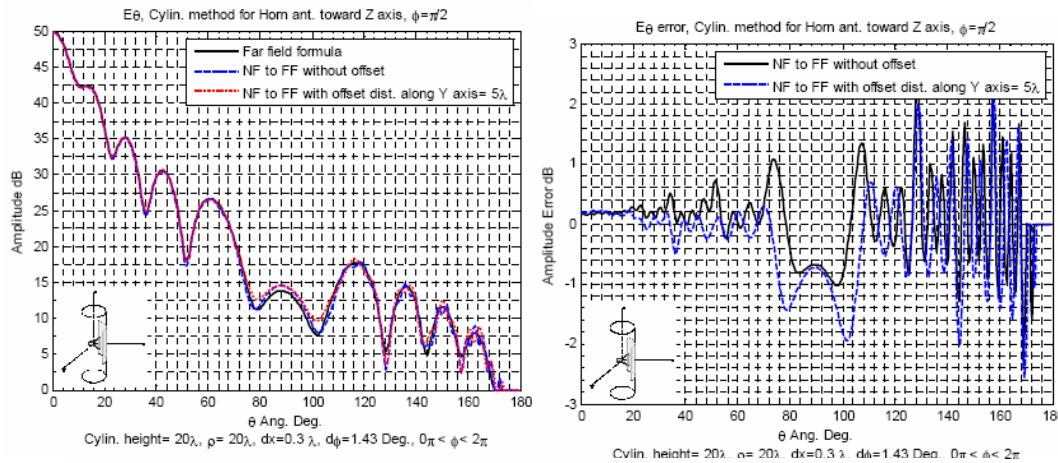
$2\lambda$  و ارتفاع  $2\lambda$  از آتن و بررسی فواصل نمونهبرداری طولی  $0.5\lambda$ ,  $0.3\lambda$ ,  $0.1\lambda$  و  $0.05\lambda$

## و: اثر جابجایی آنتن مورد اندازه گیری (روی محور های مختلف)



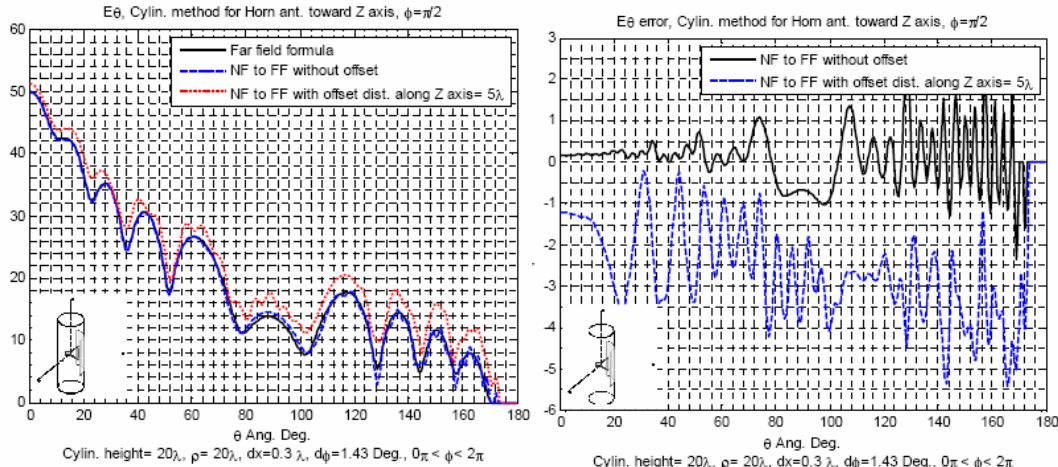
مقایسه میدان دور آنتن بوقی، با میدان دور بدست آمده از تحلیل میدان نزدیک روی سطح نمونه برداری استوانه‌ای، با شعاع

۲۰λ و ارتفاع ۲۰λ از آنتن و بررسی اثر جابجایی آنتن روی محور X



مقایسه میدان دور آنتن بوقی، با میدان دور بدست آمده از تحلیل میدان نزدیک روی سطح نمونه برداری استوانه‌ای، با شعاع

۲۰λ و ارتفاع ۲۰λ از آنتن و بررسی اثر جابجایی آنتن روی محور Y

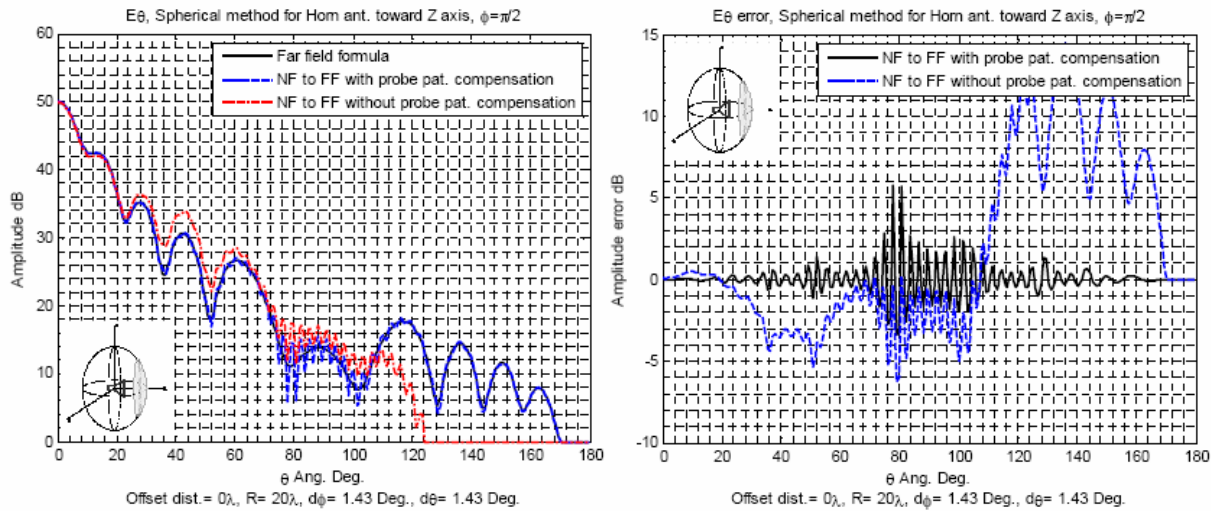


مقایسه میدان دور آنتن بوقی، با میدان دور بدست آمده از تحلیل میدان نزدیک روی سطح نمونه برداری استوانه‌ای، با شعاع

۲۰λ و ارتفاع ۲۰λ از آنتن و بررسی اثر جابجایی آنتن روی محور Z

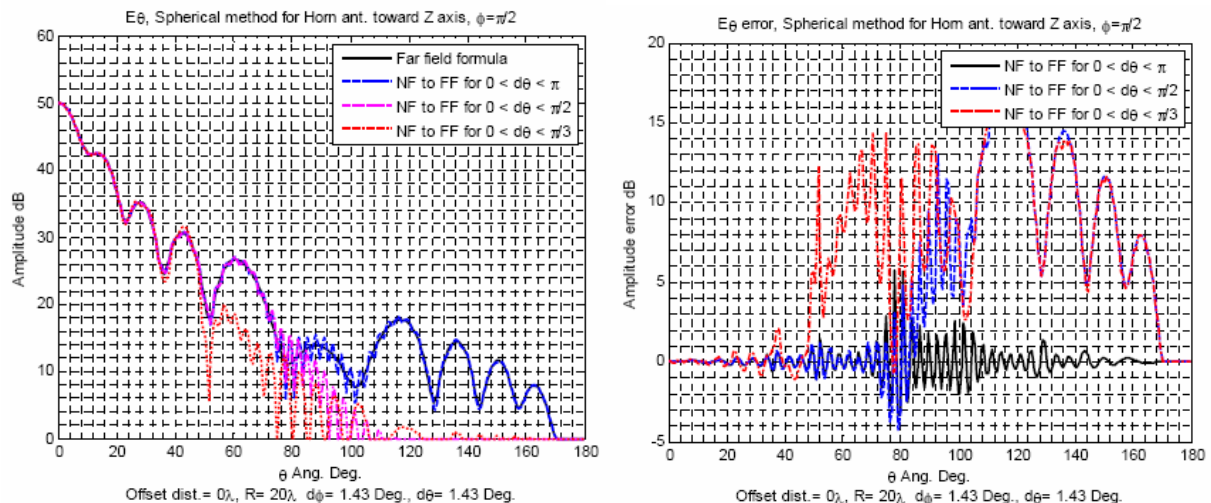
### ۳) روش کروی

#### الف: اثر پرتو آنتن نمونه برداری



مقایسه میدان دور آنتن بوقی، با میدان دور بدست آمده از تحلیل میدان نزدیک روی سطح نمونه برداری کروی، با شعاع  $20\lambda$  و بررسی اثر پرتو آنتن نمونه بردار

#### ب: اثر محدود بودن سطح نمونه برداری کروی



مقایسه میدان دور آنتن بوقی، با میدان دور بدست آمده از تحلیل میدان نزدیک روی سطح نمونه برداری کروی، با شعاع  $20\lambda$  و بررسی اثر محدود بودن سطح کره

#### ۲-۴-۳- خطاب برای آنتن بشقابی

در این قسمت بطور مختصر، خطاب برای پرتو آنتن بشقابی با روش صفحه ای مورد بررسی قرار میگیرد. برای سایر روشها به مرجع اصلی مراجعه شود.

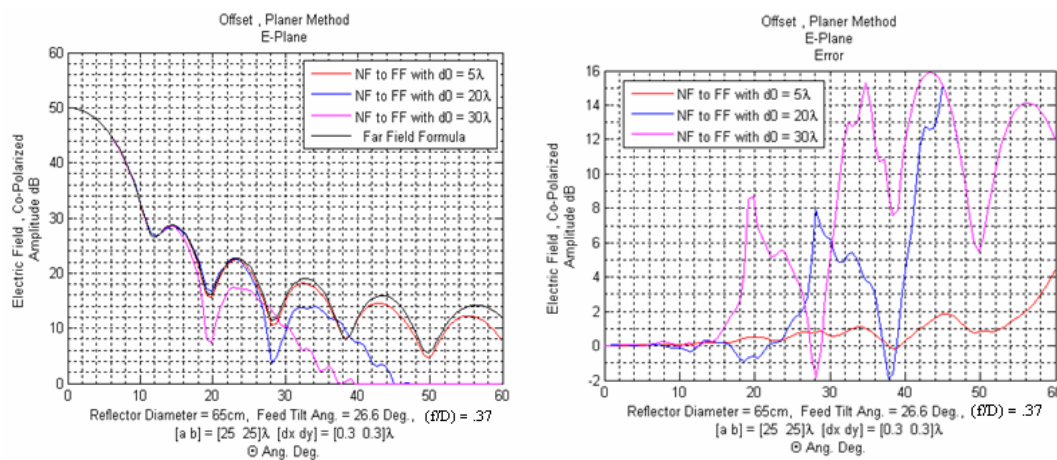
۱-۲-۴-۳- تغذیه ای آفست

در این قسمت نتایج شبیه‌سازی برای حالتی که آنتن به صورت آفست تغذیه شده است، ارائه می‌شود. نتایج شبیه‌سازی با در نظر گرفتن رنج دینامیکی<sup>۱</sup> ۵۰ dB است.

موقعیت سطح نمونه‌برداری صفحه‌ای نسبت به آنتن با رفلکتور پارabolوئید در حالتی که به صورت آفست تغذیه می‌شود،

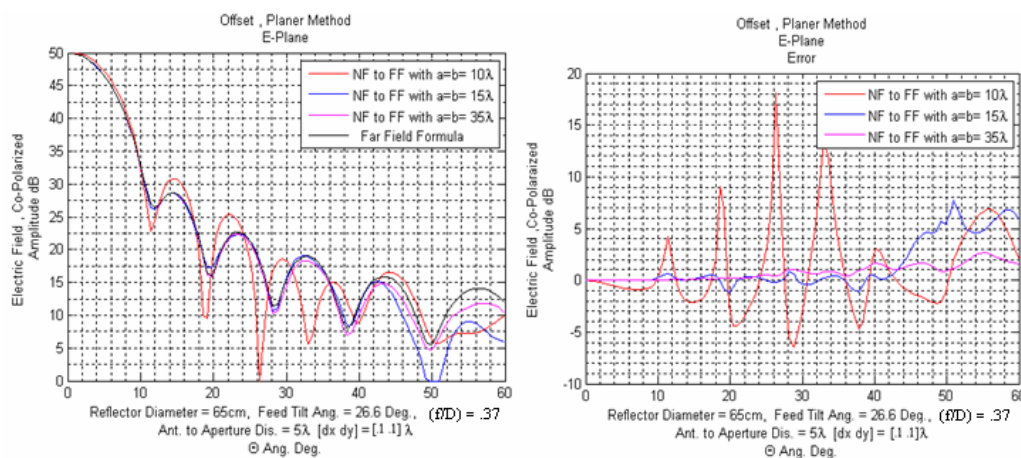
### • اثر فاصله‌ی سطح صفحه‌ای از کانون

انتظار داریم با افزایش فاصله‌ی سطح صفحه‌ای از پنجره‌ی آنتن در محل کانون، خطای ناشی از بدست آوردن میدان دور از میدان نزدیک افزایش یابد. تأثیر فاصله‌ی سطح صفحه‌ای از کانون و خطای ایجاد شده در اندازه-گیری میدان دور از میدان نزدیک در شکل‌های زیر نشان داده شده است



### • اثر ابعاد سطح صفحه‌ای

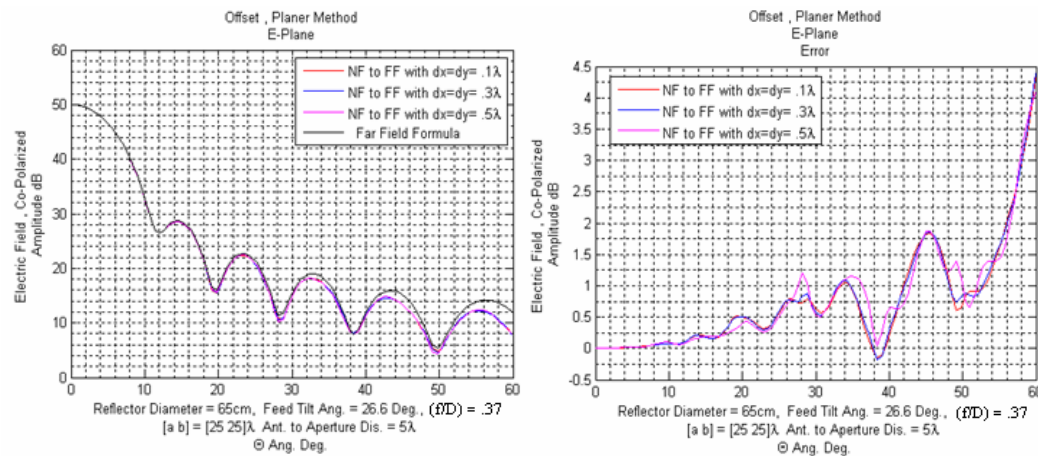
تأثیر ابعاد سطح صفحه‌ای در بدست آوردن میدان دور با تحلیل میدان نزدیک بر روی سطح صفحه‌ای در شکل‌های زیر نشان داده شده است.



### • اثر فاصله‌ی نقاط نمونه‌برداری

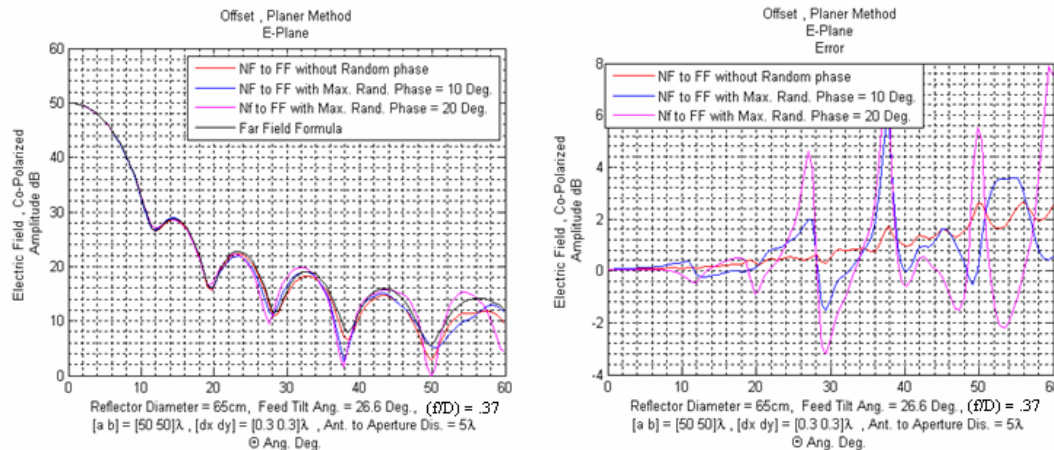
تأثیر فاصله‌ی نقاط نمونه‌برداری بر روی سطح صفحه‌ای در بدست آوردن میدان دور با تحلیل میدان نزدیک در شکل‌های زیر نشان داده شده است.

<sup>1</sup> Dynamic range



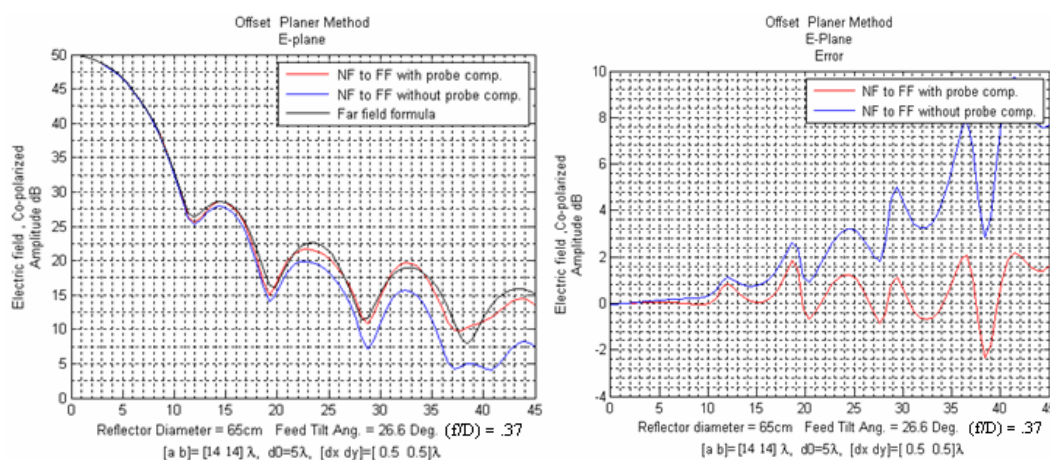
### • اثر تغییرات جزئی تصادفی فاز (اثر کابل)

تأثیر کابل، با در نظر گرفتن تغییرات جزئی تصادفی فاز، در بدست آوردن میدان دور از میدان نزدیک، در شکل‌های زیر نشان داده شده است.



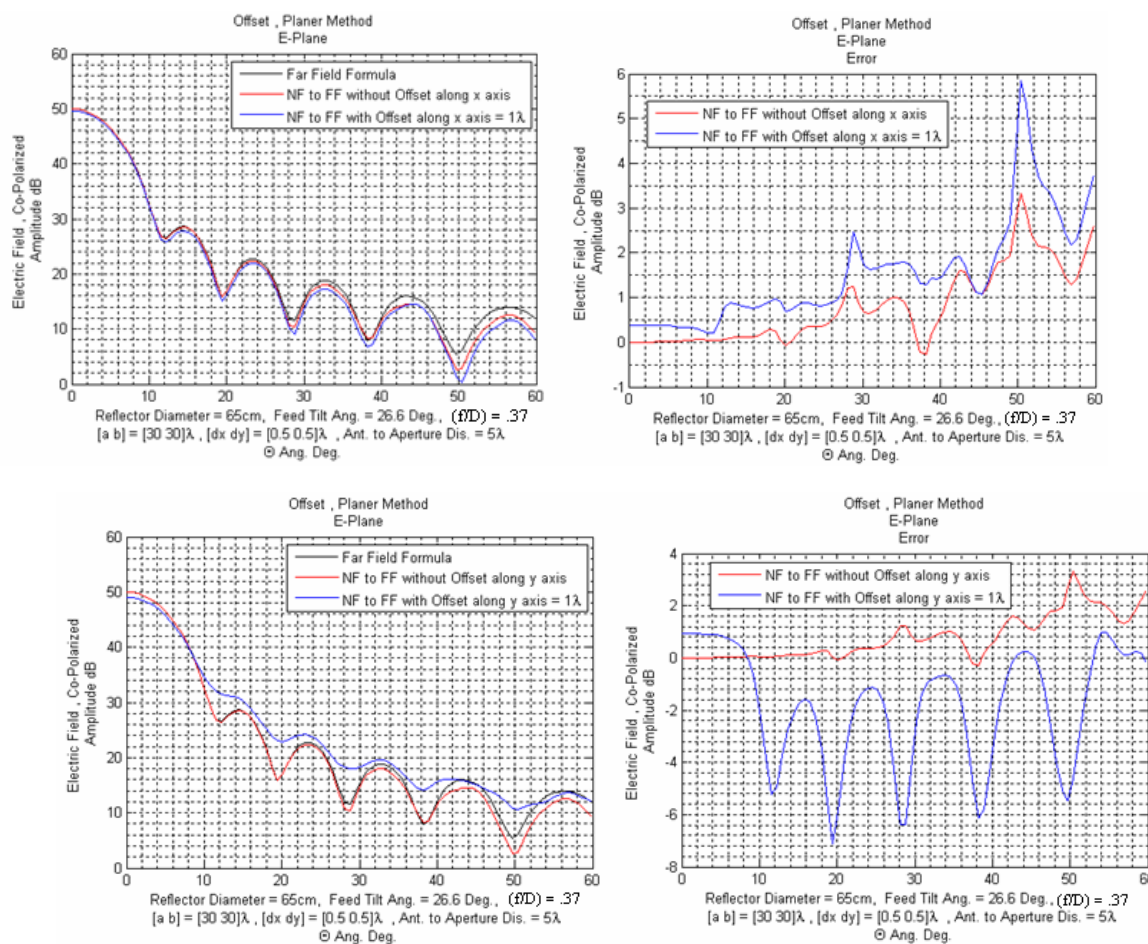
### • اثر آنتن نمونهبردار

در این قسمت تأثیر تغییر بهره‌ی آنتن نمونهبردار با تغییر موقعیت آنتن نمونهبردار و آنتن با رفلکتور پارabolوئید، در بدست آوردن میدان دور با تحلیل میدان نزدیک بر روی سطح صفحه‌ای، در شکل‌های زیر مورد بررسی قرار گرفته است.



## اثر جابه جایی آنتن روی محورهای مختصات

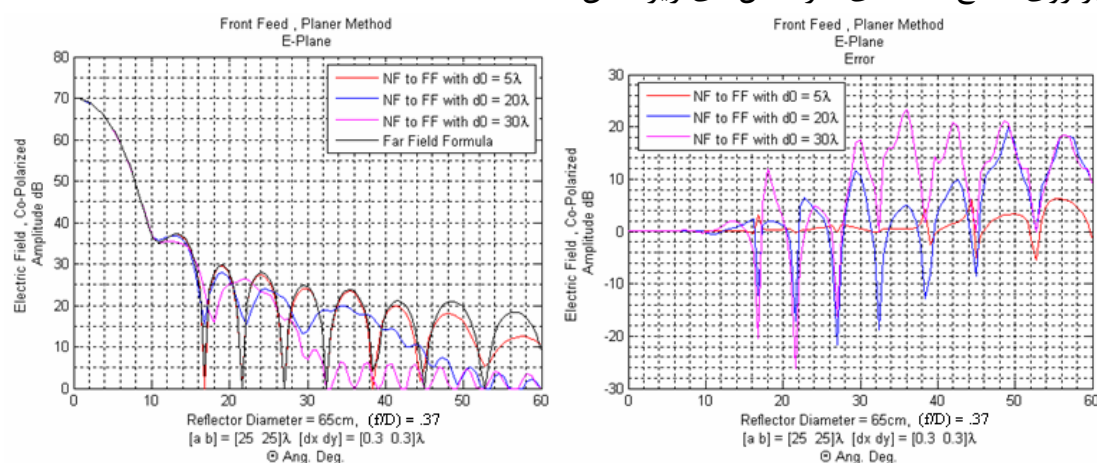
تأثیر جابه جایی آنتن روی محورهای مختصات، در بسته آوردن میدان دور از میدان نزدیک، در شکل های زیر نشان داده شده است.



## ۲-۴-۳-۲-تغذیه ای از روبرو

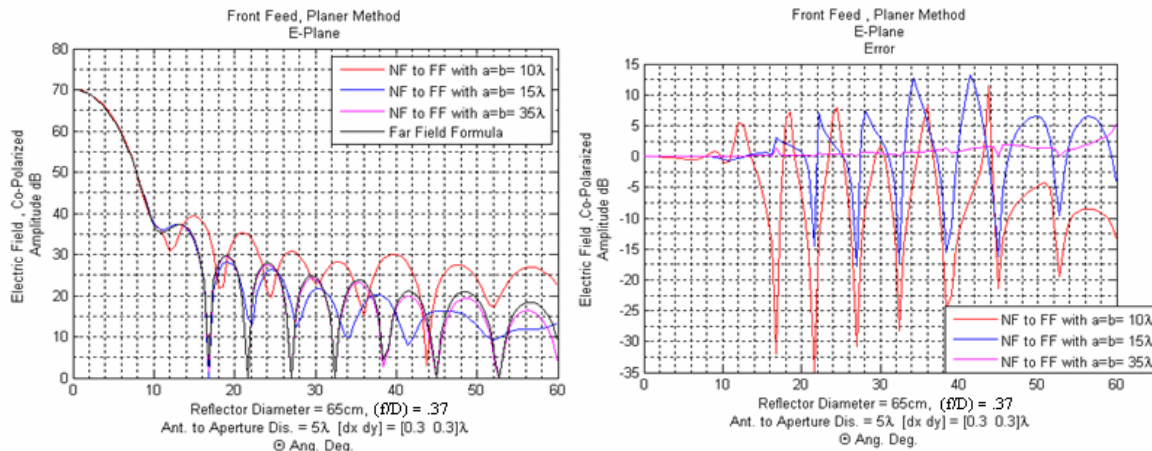
### • اثر فاصله‌ی سطح صفحه‌ای از کانون

تأثیر فاصله‌ی سطح صفحه‌ای از کانون آنتن با رفلکتور پارabolوئید، در خطای تعیین میدان دور با تحلیل میدان نزدیک بر روی سطح صفحه‌ای، در شکل‌های زیر نشان داده شده است.



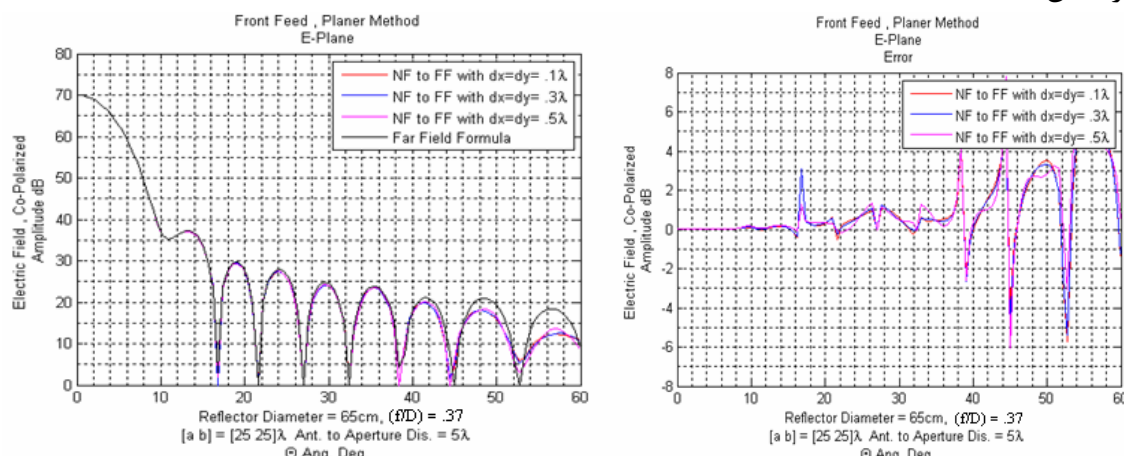
## • اثر ابعاد سطح صفحه‌ای

در این قسمت تأثیر ابعاد سطح صفحه‌ای در خطای تعیین میدان دور از تحلیل میدان نزدیک در شکل‌های زیر مورد بررسی قرار گرفته است. انتظار داریم افزایش سطح نمونه‌برداری با افزایش ابعاد سطح صفحه، سبب کاهش این خطای شود.

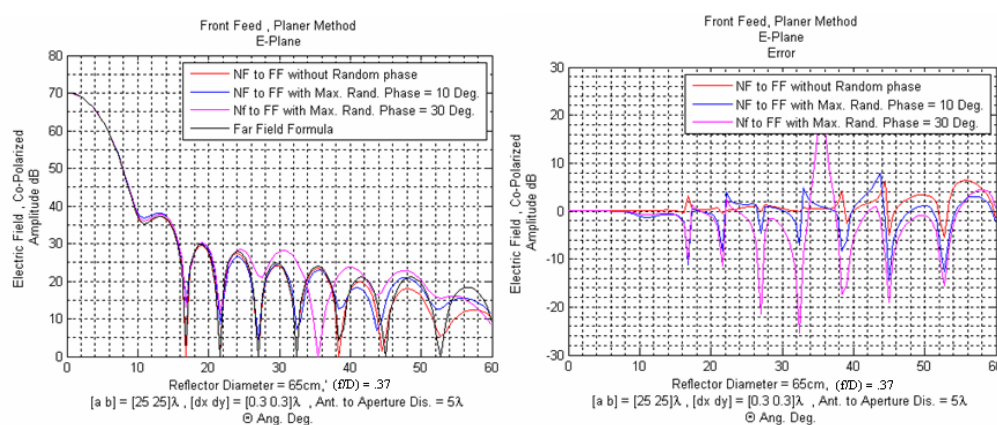


## • اثر فاصله‌ی نقاط نمونه‌برداری

تأثیر فاصله‌ی نقاط نمونه‌برداری بر روی سطح صفحه‌ای در بدست آوردن میدان دور با تحلیل میدان نزدیک در شکل‌های زیر نشان داده شده است.

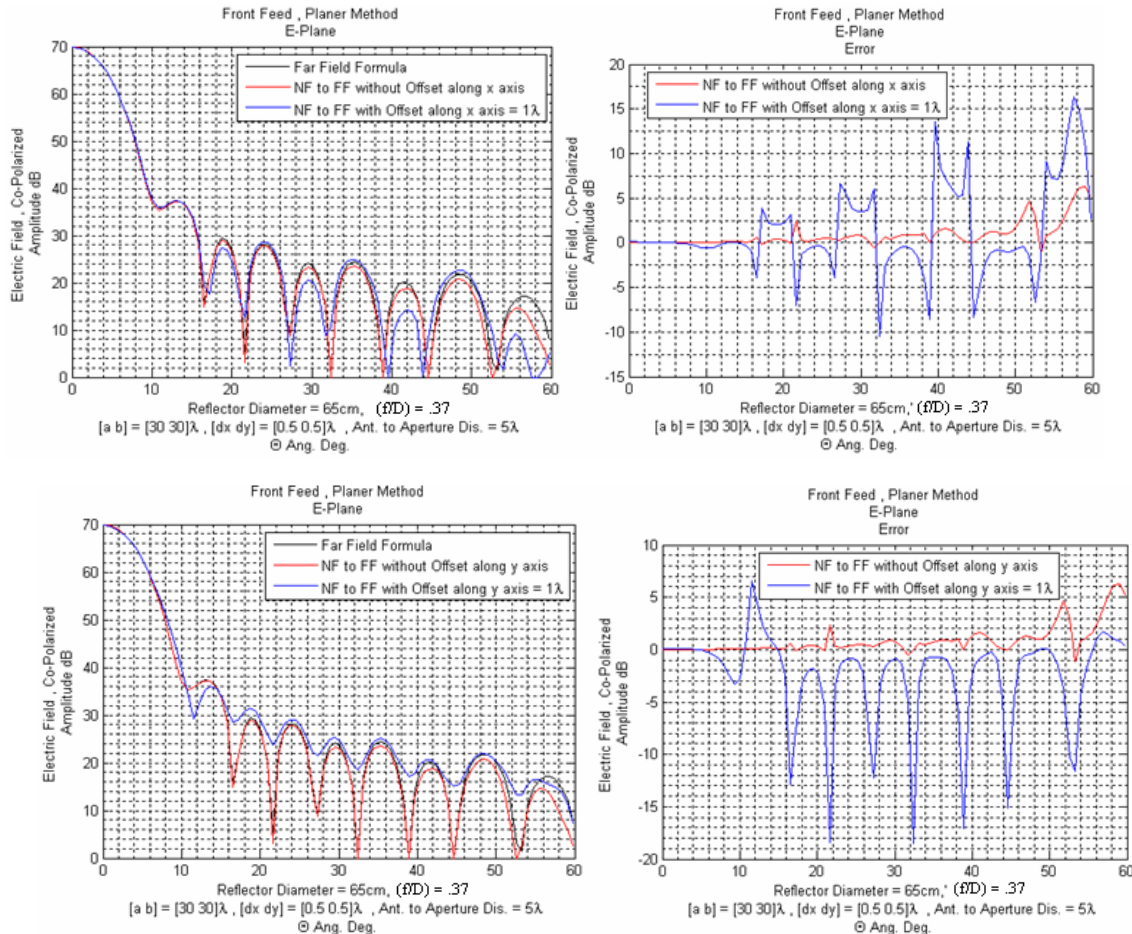


## • اثر تغییرات جزئی تصادفی فاز (اثر کابل)

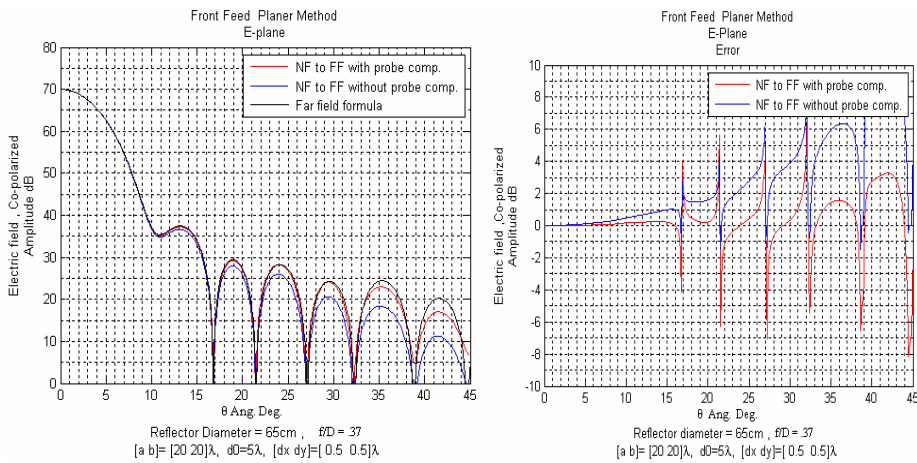


## • اثر جابه‌جایی آنتن روی محورهای مختصات

تأثیر جابه‌جایی آنتن روی محورهای مختصات، در بدست آوردن میدان دور از میدان نزدیک، در شکل‌های زیر نشان داده شده است.



### ● اثر آنتن نمونه‌بردار



مراجع :

مجموعه‌ای از Application Notes – Wiltron Co.

- [۱] – مریم فراهانی، شبیه سازی میدان دور از نزدیک، پایان نامه کارشناسی، مردادماه ۱۳۸۸
- [۲] – حدیثه ناصری، شبیه سازی میدان دور از نزدیک برای آنتن های با گین بالا، پایان نامه کارشناسی، مردادماه ۱۳۸۹